

Notación/convención de signos:

TABLE 5.2 Meanings Associated with the Signs of Various Thin Lens and Spherical Interface Parameters

Sign		
	+	-
s_o	Real object	Virtual object
s_i	Real image	Virtual image
f	Converging lens	Diverging lens
y_o	Erect object	Inverted object
y_i	Erect image	Inverted image
M_T	Erect image	Inverted image

TABLE 5.3 Images of Real Objects Formed by Thin Lenses

Object		Image		
Location	Type	Location	Orientation	Relative Size
$\infty > s_o > 2f$	Real	$f < s_i < 2f$	Inverted	Minified
$s_o = 2f$	Real	$s_i = 2f$	Inverted	Same size
$f < s_o < 2f$	Real	$\infty > s_i > 2f$	Inverted	Magnified
$s_o = f$		$\pm\infty$		
$s_o < f$	Virtual	$ s_i > s_o$	Erect	Magnified

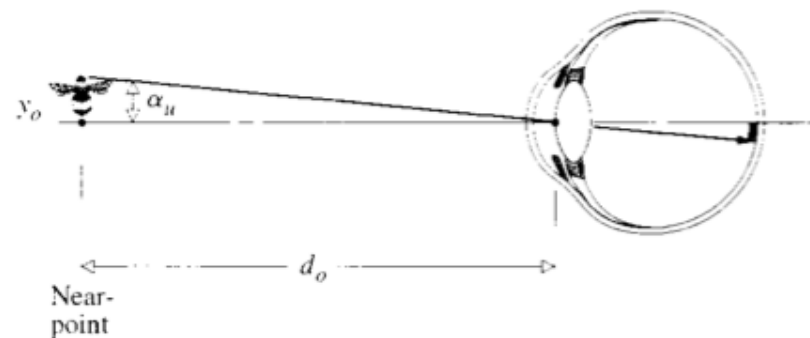
Object		Image		
Location	Type	Location	Orientation	Relative Size
Anywhere	Virtual	$ s_i < f ,$ $s_o > s_i $	Erect	Minified

Sistemas Ópticos

Lupa. Del objeto a una imagen virtual de mayor tamaño

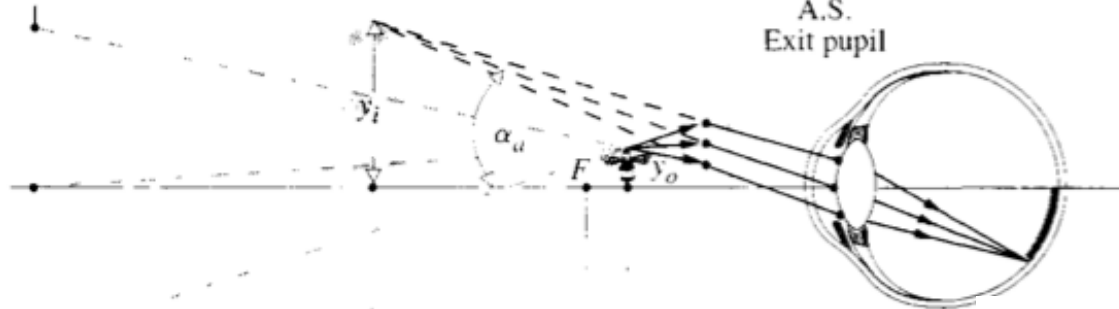
El aumento (magnificación angular) es el cociente de tamaños de la imagen en la retina cuando se ve al objeto con y sin la lupa al colocarlo (en el segundo caso) a la distancia óptima de visión distinta. Es equivalente al cociente de los ángulos

(a)



(b)

- | Entrance pupil
- |



$$MP = -\frac{s_i d_o}{s_o L} = \left(1 - \frac{s_i}{f}\right) \frac{d_o}{L}$$

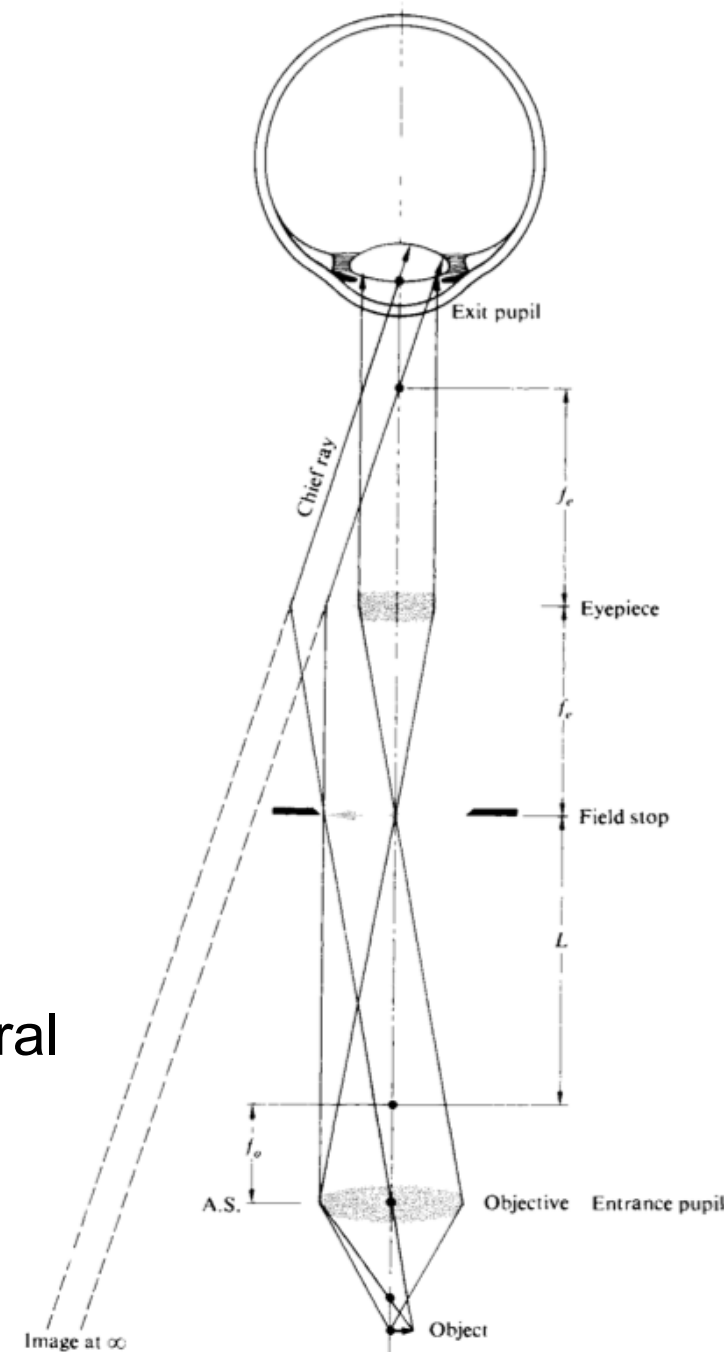
$$MP = \frac{\alpha_a}{\alpha_u}$$

$$MP = \frac{y_i d_o}{y_o L}$$

Microscopio (compuesto). Usa una lente que se ubica cerca del objeto de modo de poder recolectar la mayor cantidad de luz (lente objetivo) que enfoca una imagen real del objeto en dentro del microscopio. Esa imagen es magnificada por una segunda lente o grupo de lentes (ocular) formando una imagen virtual invertida de mayor tamaño.

Acá el aumento es el producto del lateral del objetivo por el angular del ocular

$$MP = M_{To}M_{Ae}$$



Telescopio. Similar al microscopio pero diferente la ubicación relativa de los focos de las dos lentes.

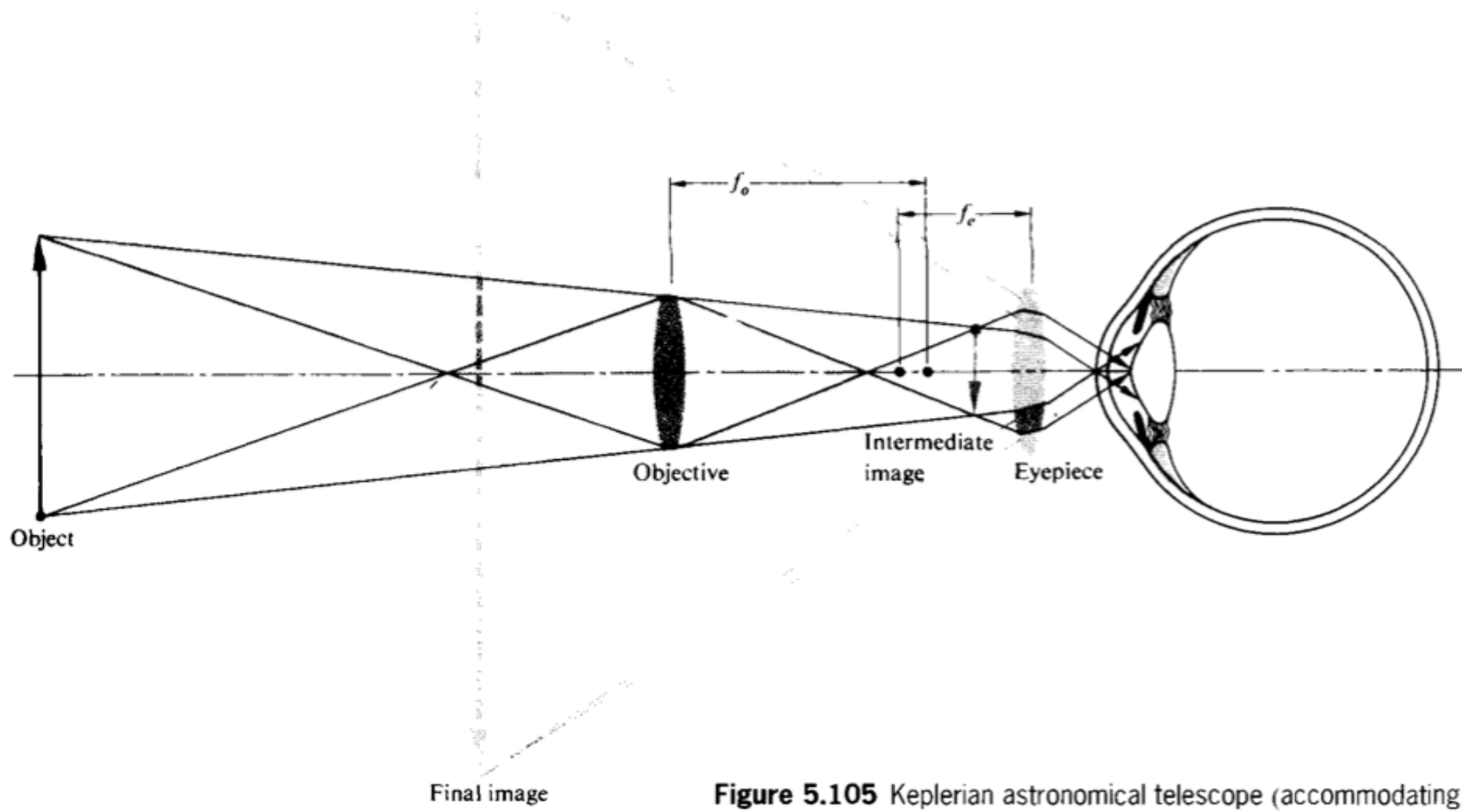


Figure 5.105 Keplerian astronomical telescope (accommodating eye).

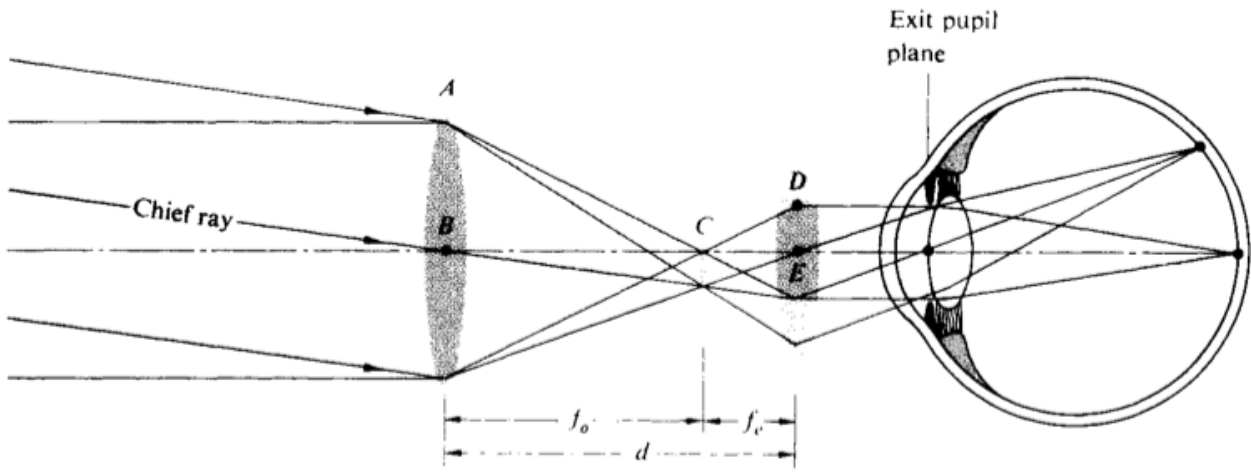
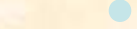


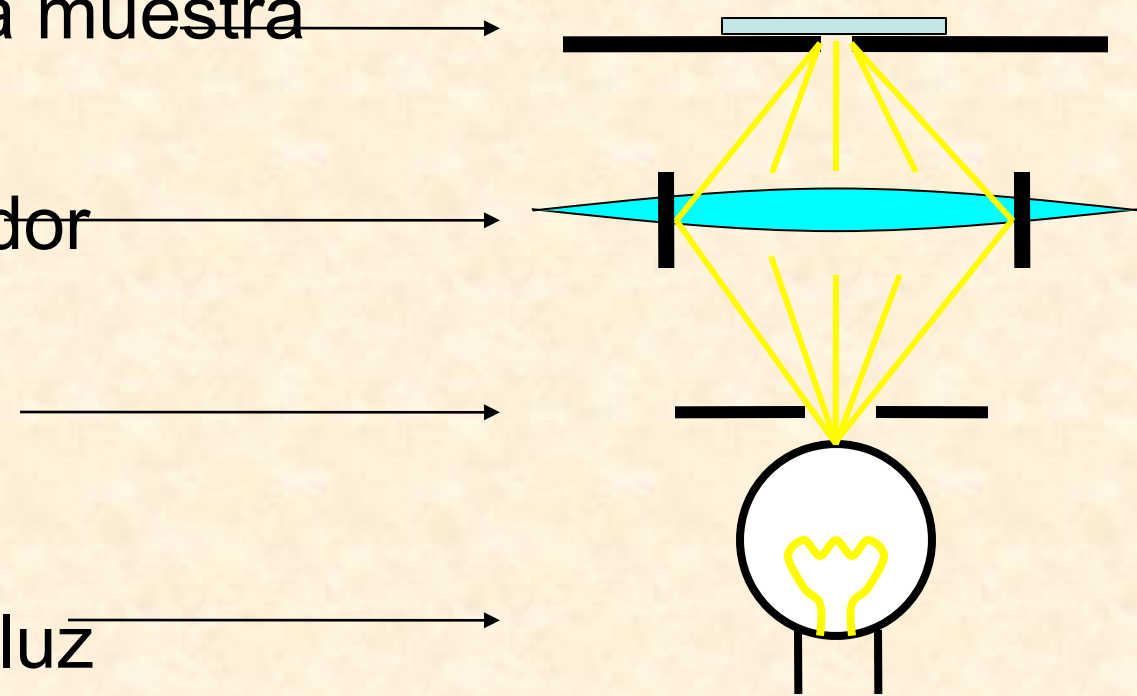
Figure 5.106 Astronomical telescope—
infinite conjugates.

Microscopía óptica



Sistema de Iluminacion

- Parts
 - Plano de la muestra
 - Condensador
 - Diafragma
 - Fuente de luz

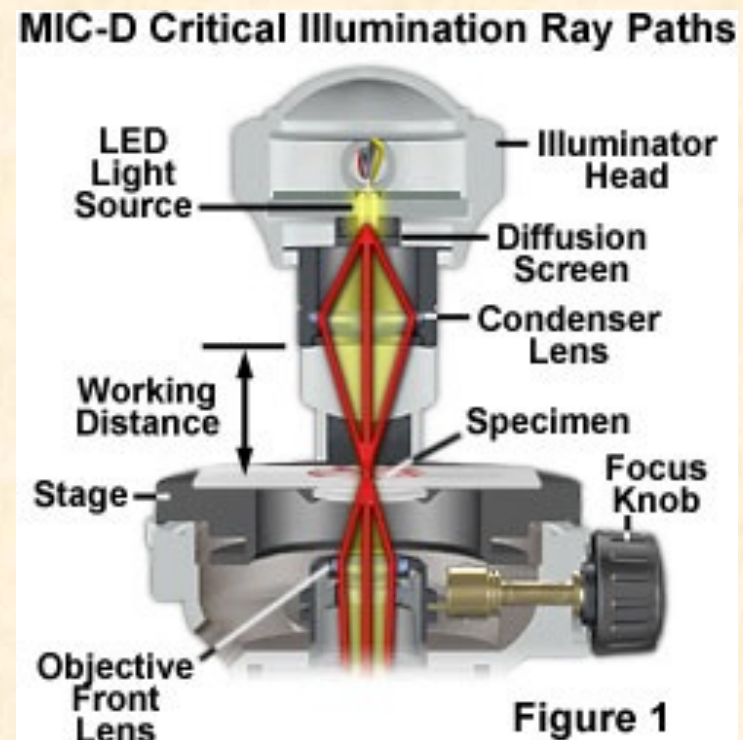


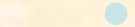


Condiciones de Iluminacion:

- Iluminacion critica
 - El condensador enfoca la luz en el plano del especimen.

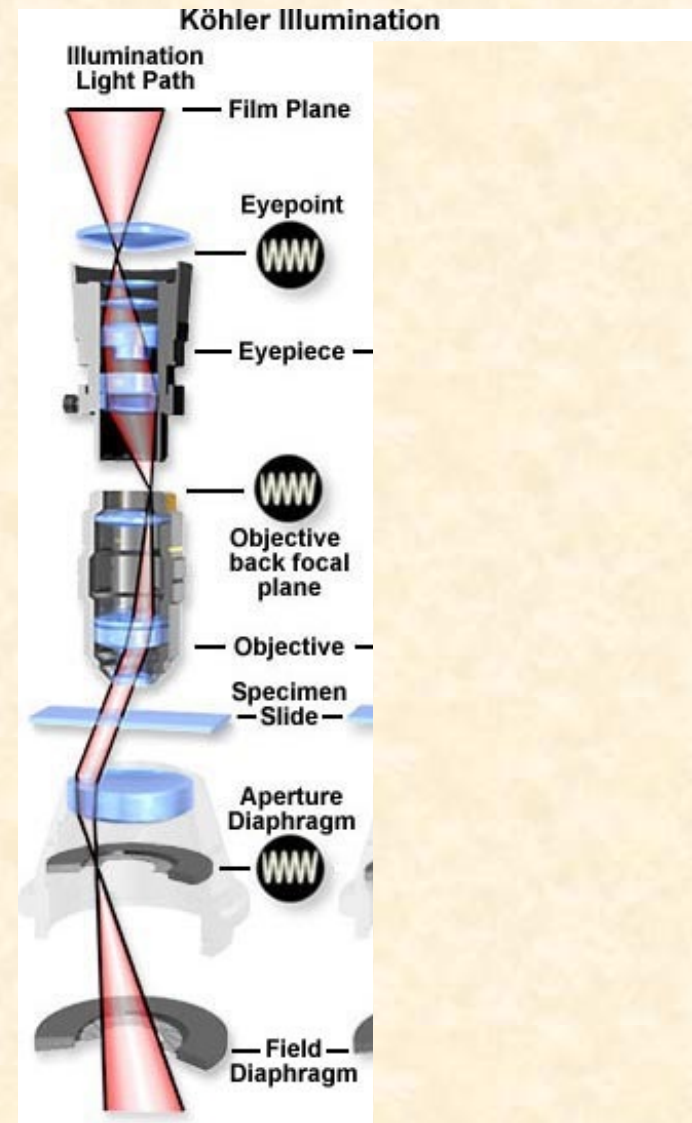
Se ve la imagen del filamento de luz





Köhler illumination

- La iluminación del especímen es uniforme
- Las imágenes del especímen y de la lámpara están en distintos planos.



Illuminación Köhler



Optical Configuration for Köhler Illumination

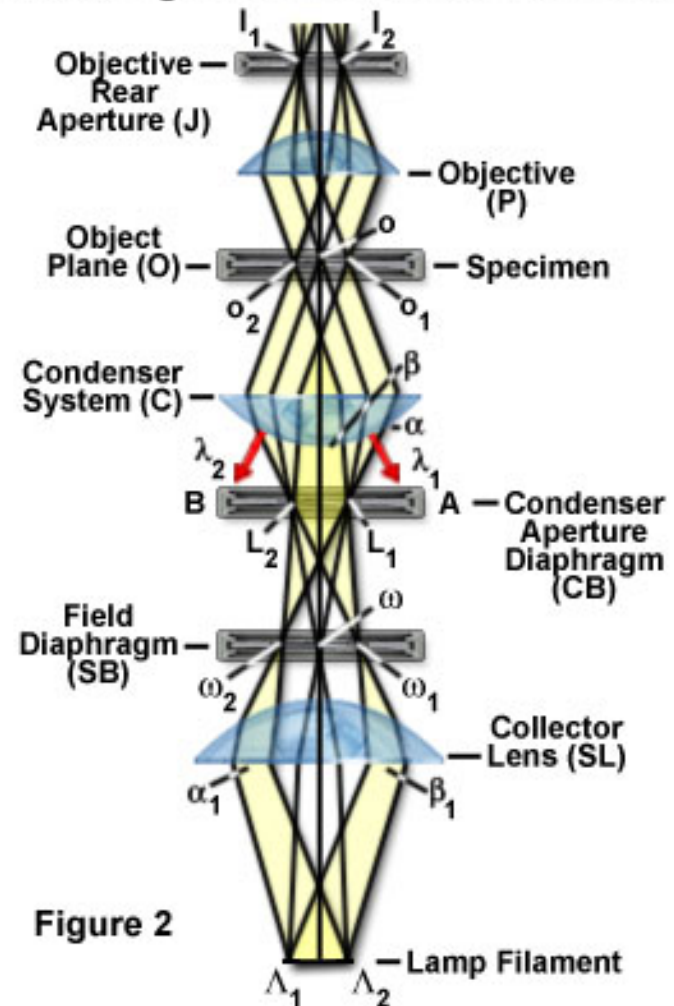
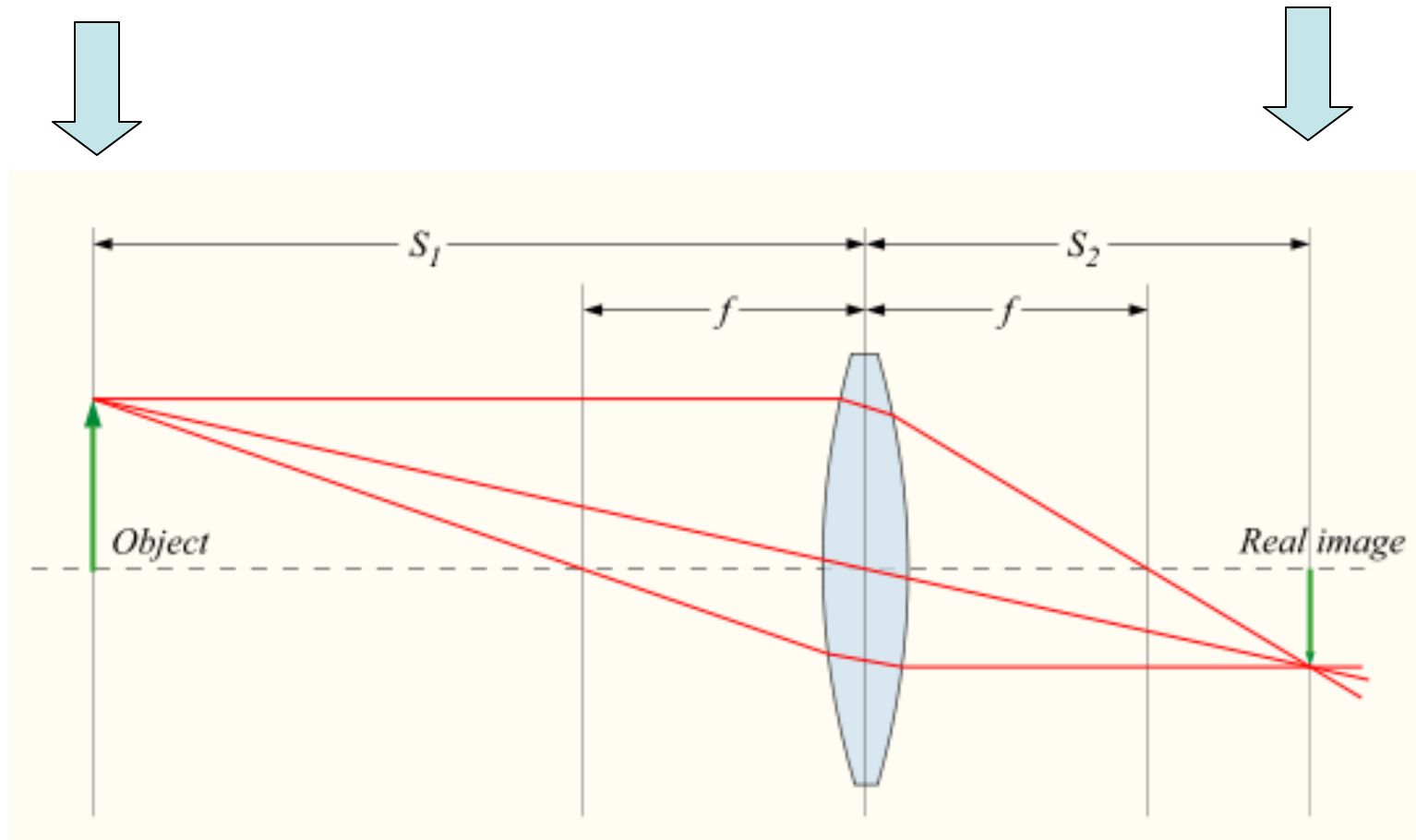
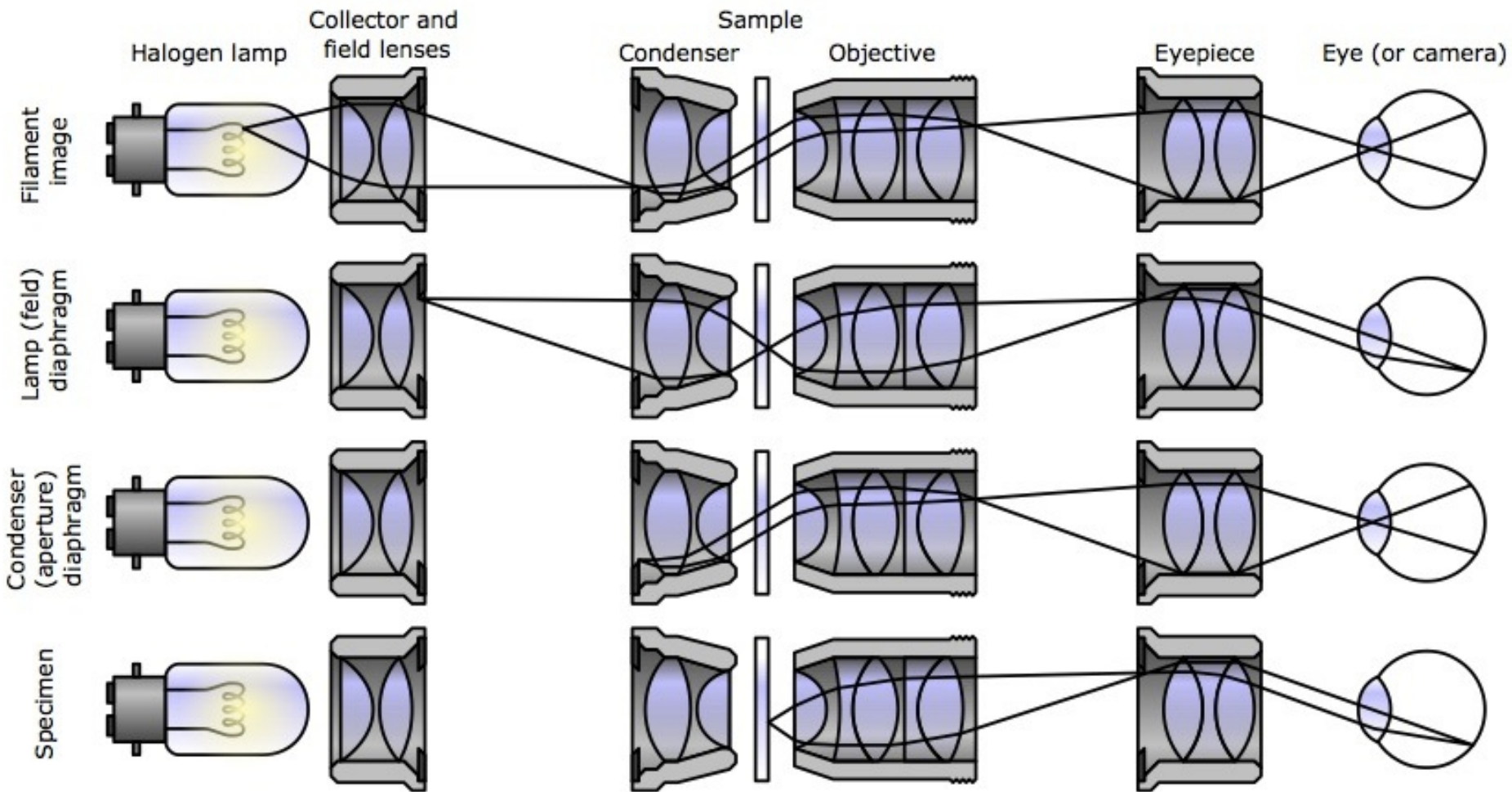


Figure 2

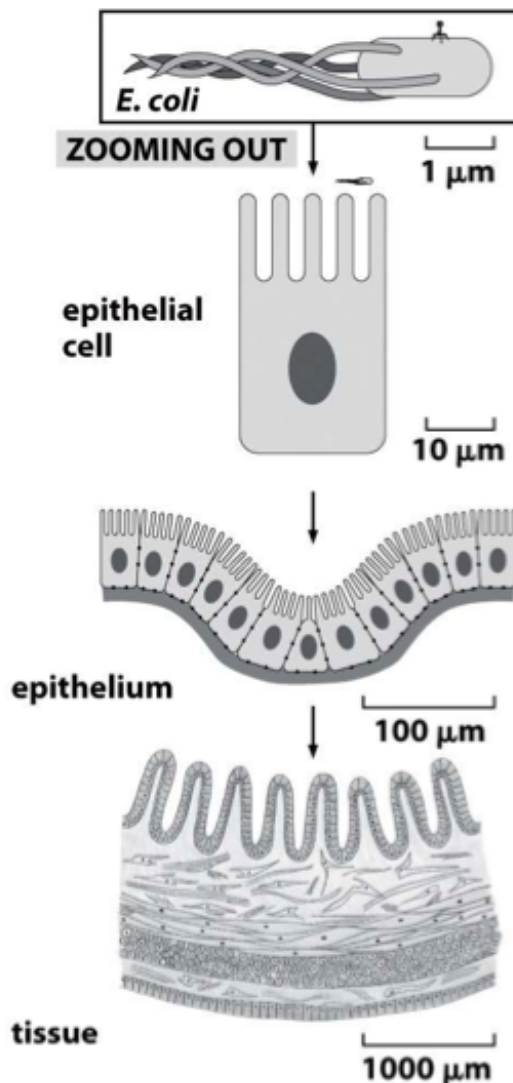
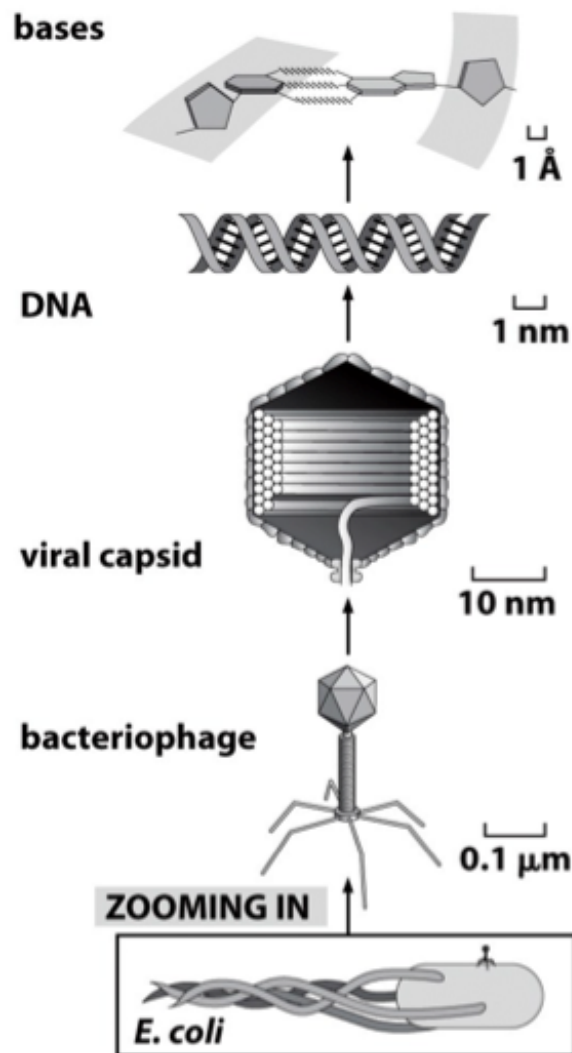
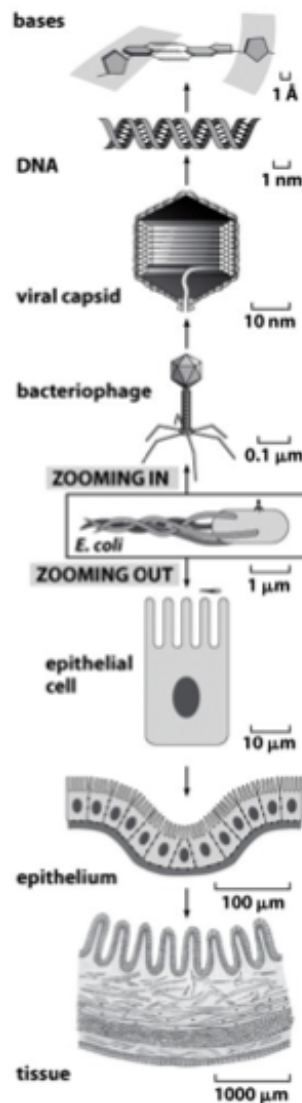
El propósito de la iluminación Köhler es generar una iluminación muy pareja de la muestra asegurándose de que la fuente (por ejemplo, el filamento de una lámpara) no sea visible en la imagen adquirida. Para eso hace que la imagen de la fuente esté totalmente desenfocada en el plano de la muestra y sus planos conjugados.

Planos conjugados





Biological Scale



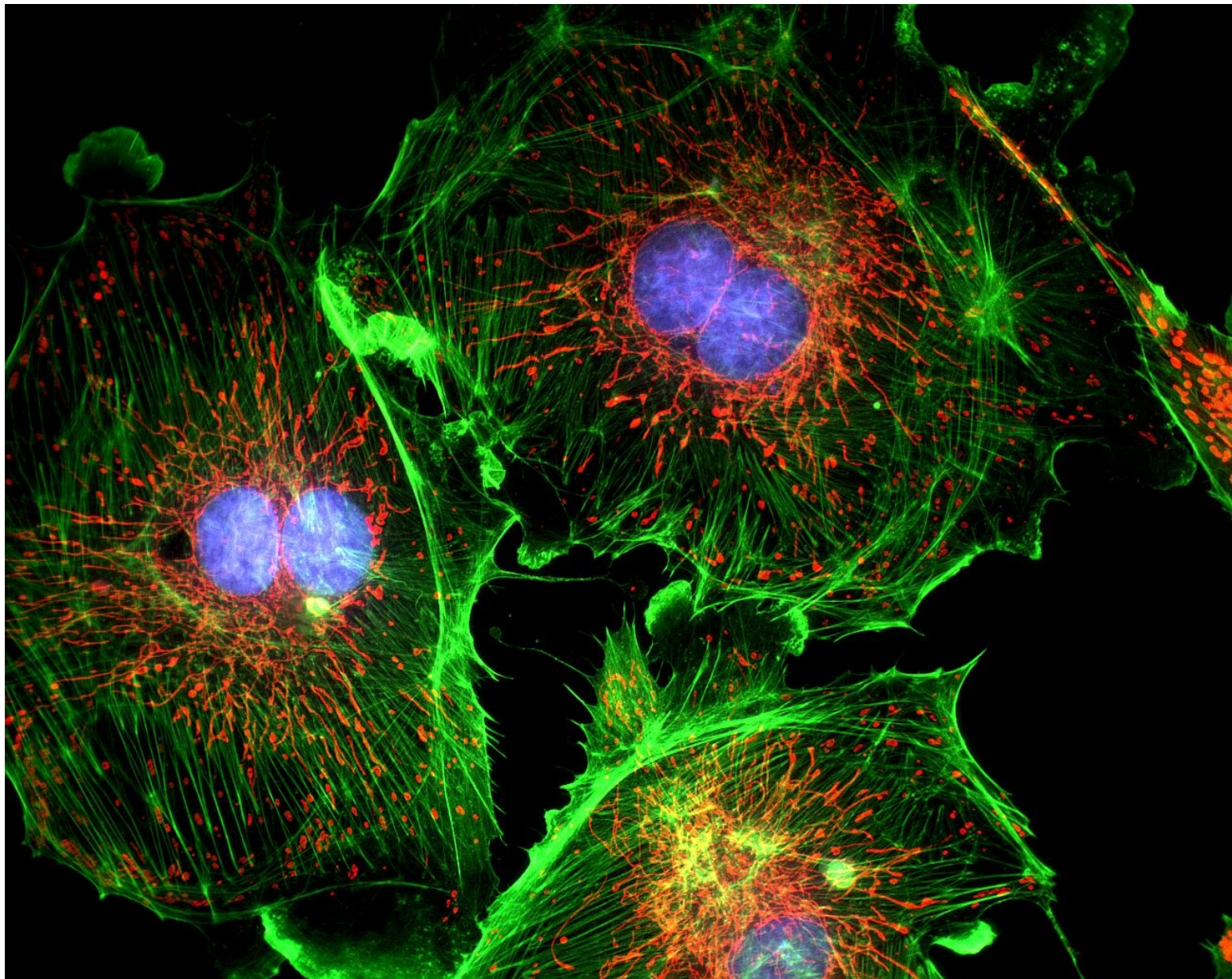
Hay especímenes que no absorben luz. Existen distintas opciones para observarlos (microscopía de contraste de fase, scattering, etc).

Otra solución para poder ver con microscopios (ópticos) células, tejidos u organismos:

Marcarlos con alguna sustancia fluorescente

Pero para entender esto necesitamos saber algo más sobre la interacción entre la luz y la materia

Microscopía de Fluorescencia lifefaculty.biu.ac.il/



Distintas técnicas ópticas

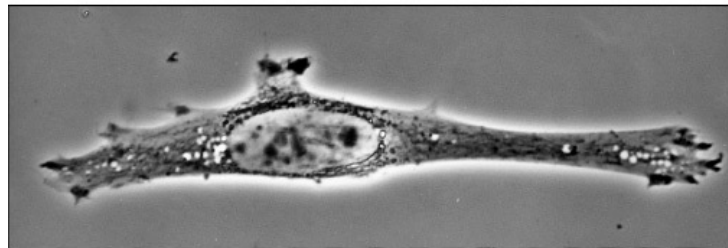
- Brightfield - absorption
- Darkfield - scattering
- Phase Contrast - phase interference
- Polarization Contrast - polarization
- Differential Interference Contrast (DIC) - polarization + phase interference
- Fluorescence Contrast - fluorescence

Algunas imágenes

Bright-field



(A)



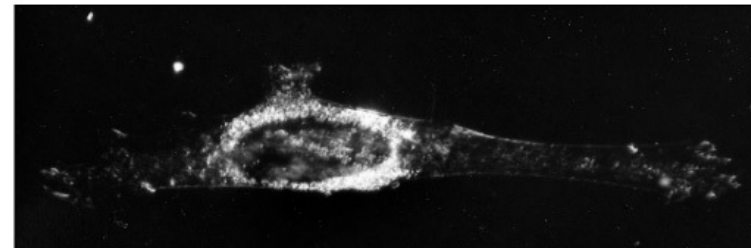
(B)

50 µm

DIC



(C)



(D)

50 µm

Figure 9–8 part 1 of 2. Molecular Biology of the Cell, 4th Edition.

Phase-contrast

Figure 9–8 part 2 of 2. Molecular Biology of the Cell, 4th Edition.

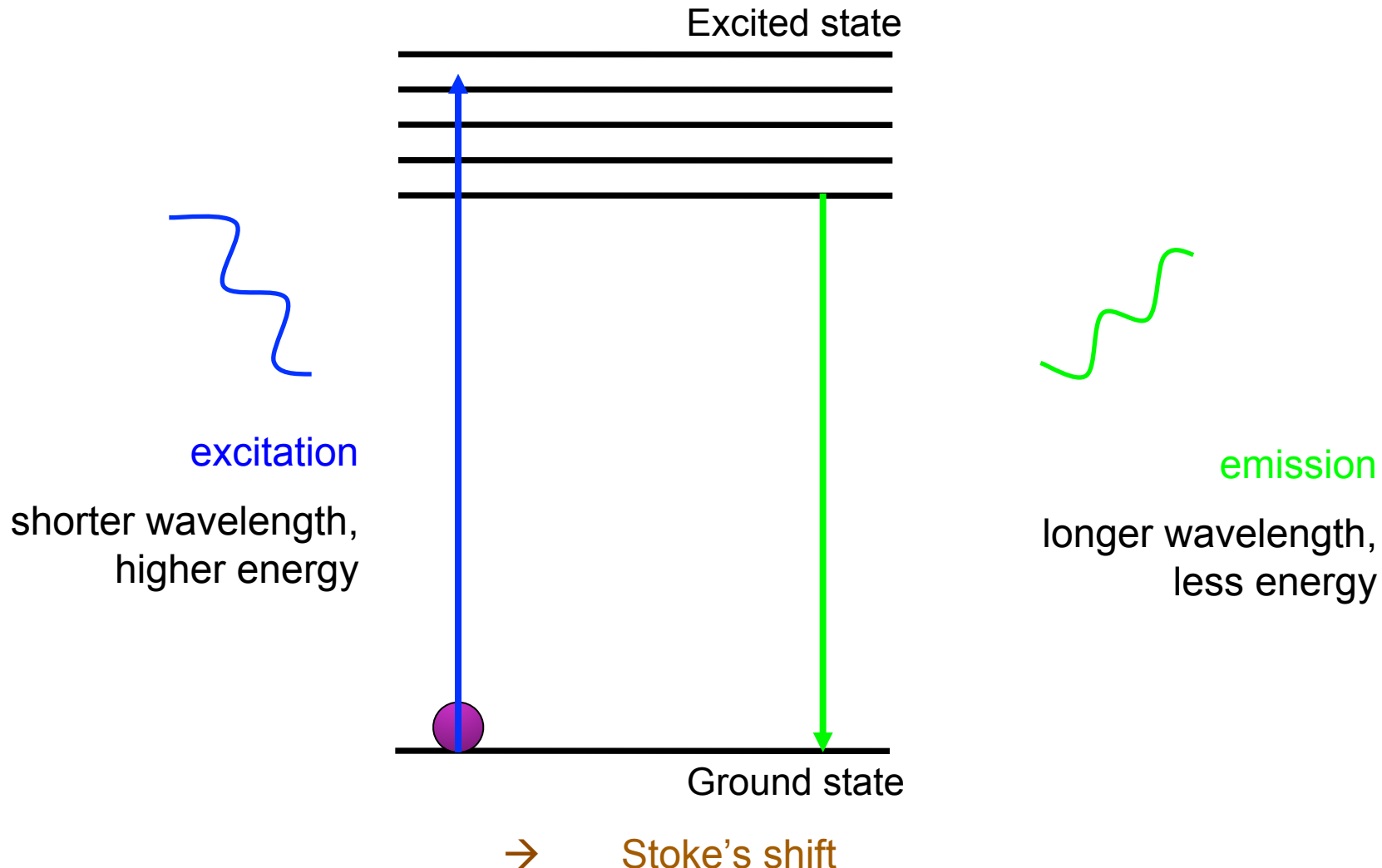
Dark-field

Técnicas de microscopia de fluorescencia

- Standard techniques: wide-field
confocal
2-photon
- Special applications: FRET
FLIM
FRAP
Photoactivation
TIRF

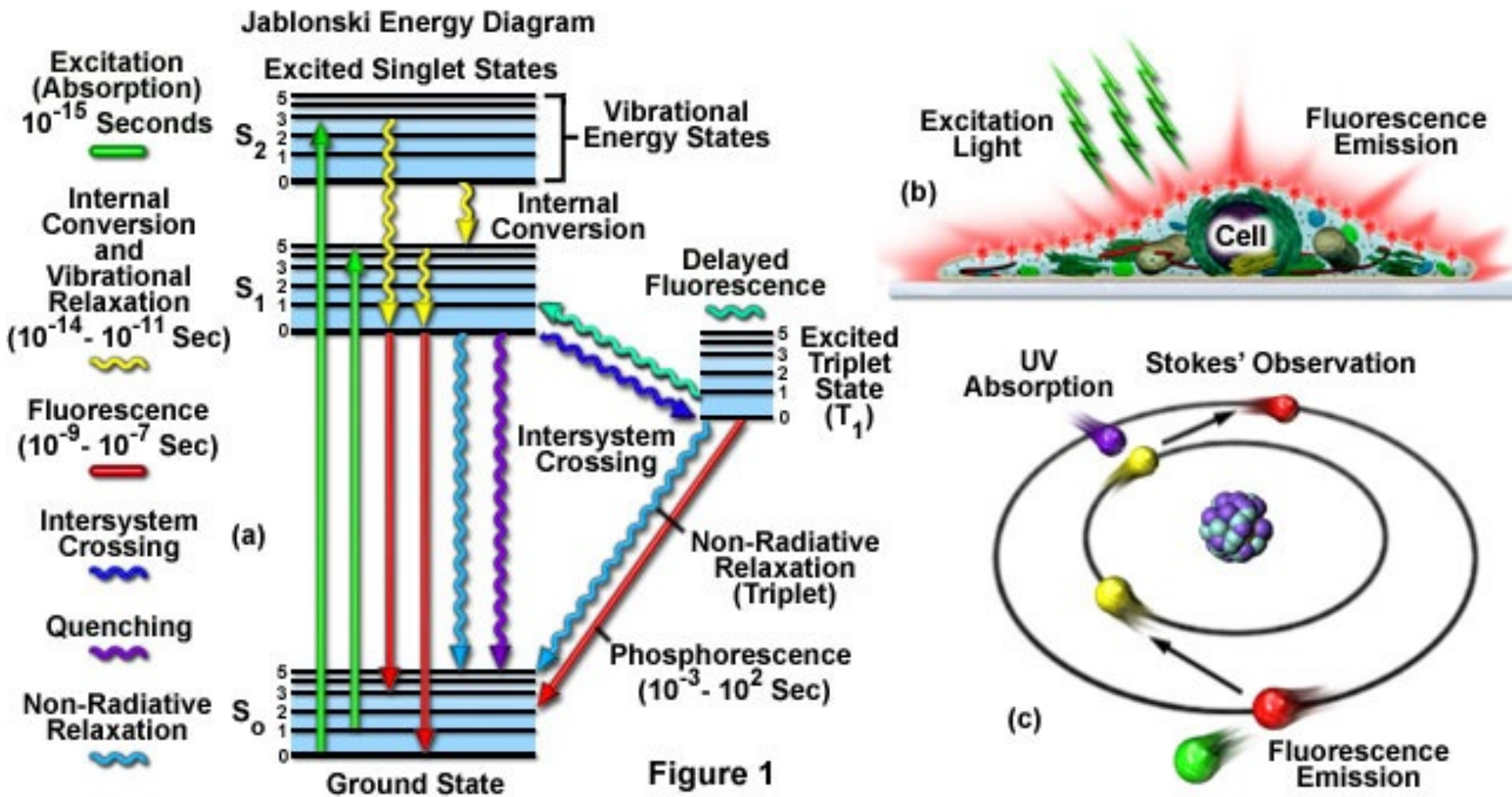
Fluorescencia

Es la emisión de una molécula en una longitud de onda al ser excitada con luz de otra longitud de onda



Fluorescencia

Fundamental Concepts Underpinning Fluorescence Microscopy



Algunas moléculas son naturalmente fluorescentes

Proteínas:

Heme proteins (**hemoglobin**, **myoglobin**, **cytochrome C**, **hemocyanin**)

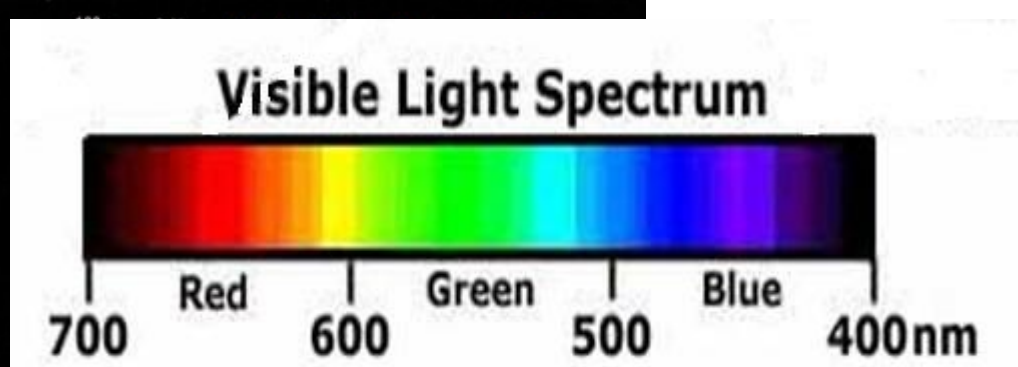
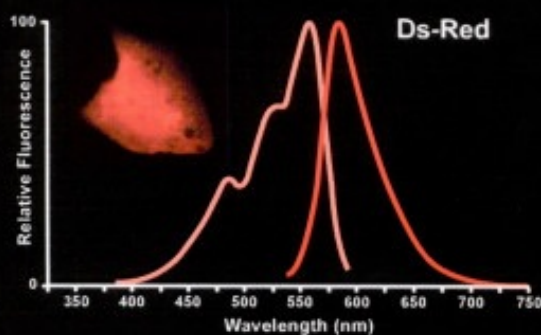
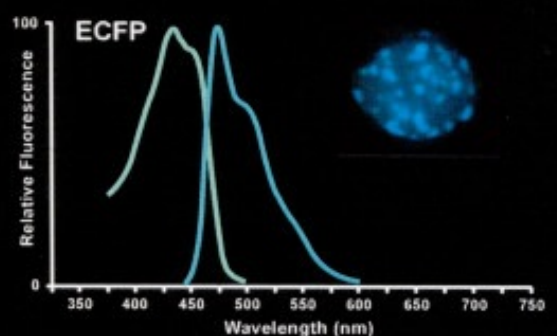
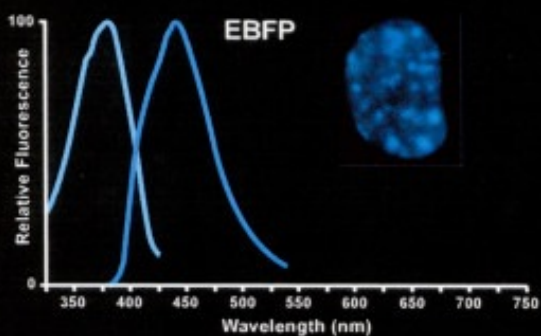
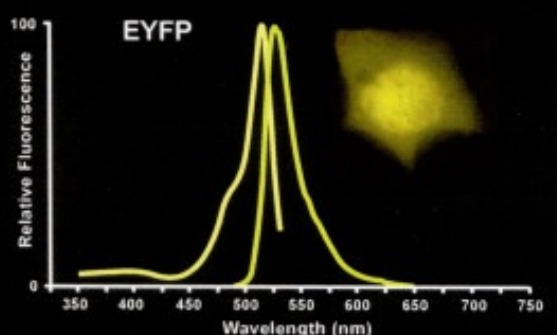
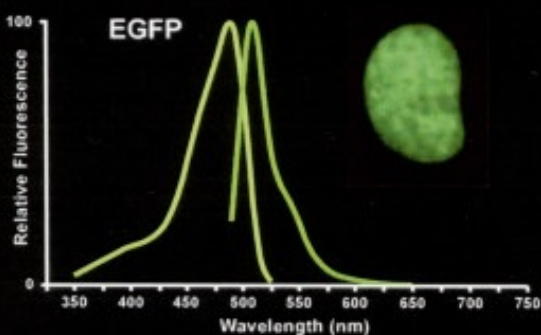
Redox & photoproteins (**phytochromes**, **phycoerythrin**, **phycocyanin**, **green fluorescent protein** (
<http://www.ucmb.ulb.ac.be/.../GFP/Fluorophore.gif>; <http://www-bioc.rice.edu/.../Phillips/Papers/gfpbio.html>; <http://dwb.unl.edu/.../projects/gmocz/gfp.htm>), **phycobiliproteins**, **rhodopsin**, **ferredoxins**)

Pigmentos:

flavins, **stilbenes**, **tryptophan**, **tyrosine**, **purines..**

También se pueden sintetizar moléculas fluorescentes (ya veremos cómo usarlas)

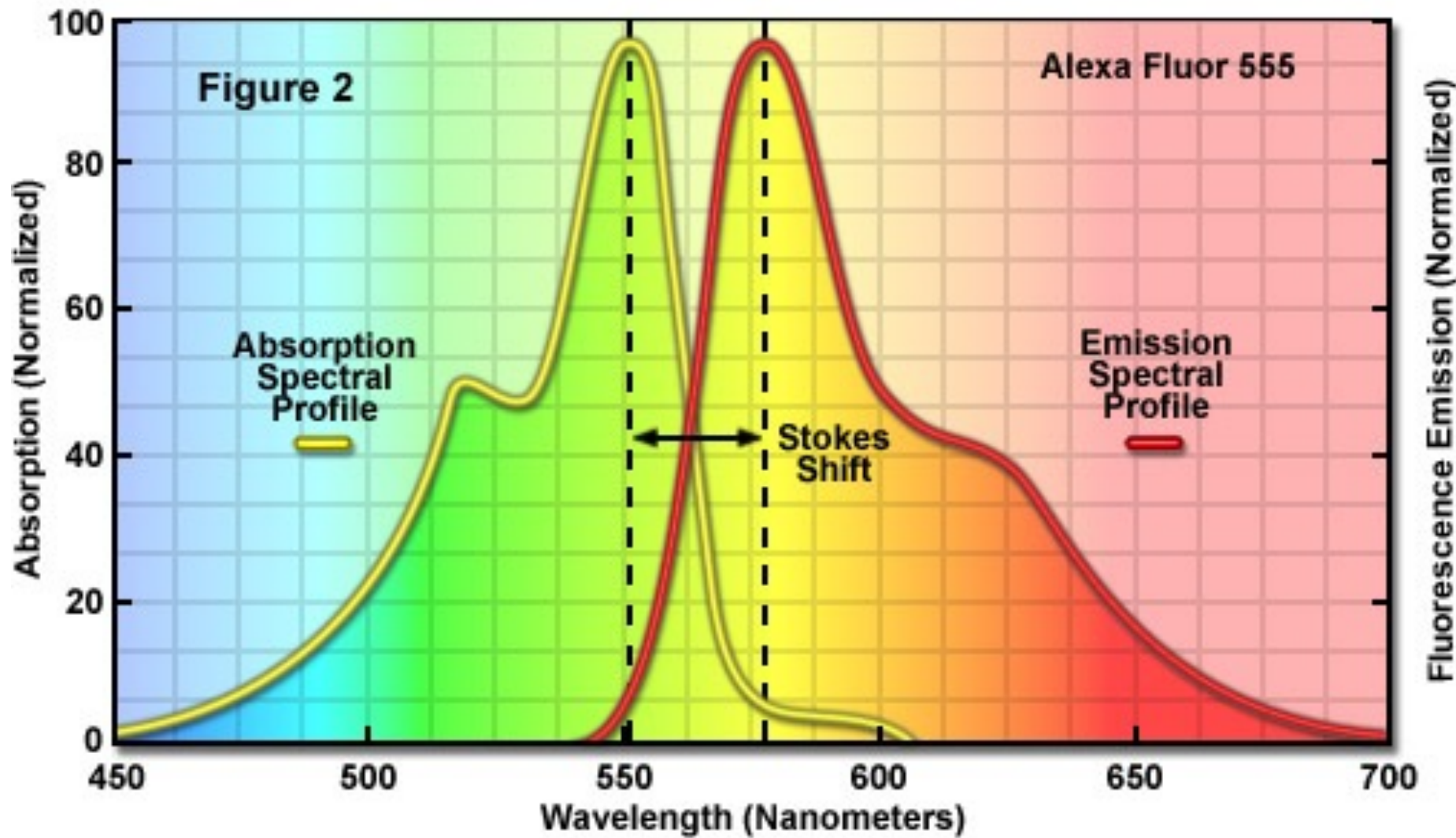
Fluoróforos (Fluorochromes, chromophores)



- Tienen una estructura particular
- Están caracterizados por un espectro de excitación y uno de emisión

Fluoróforos

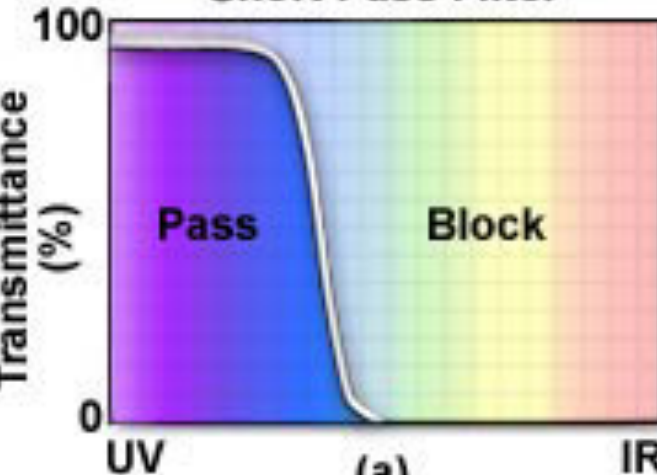
Fluorophore Absorption and Emission Profiles



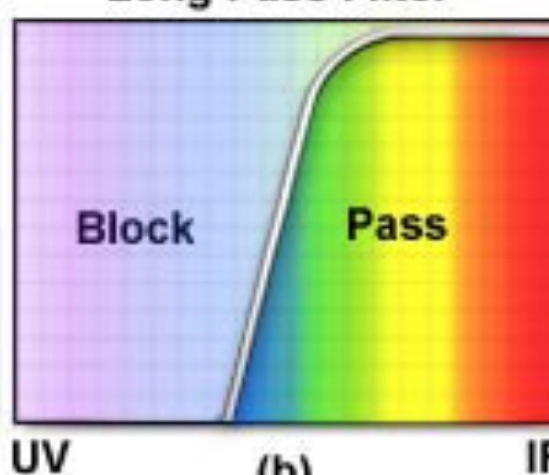
Filtros

Se usan para separar la luz dentro de un rango de longitudes de onda

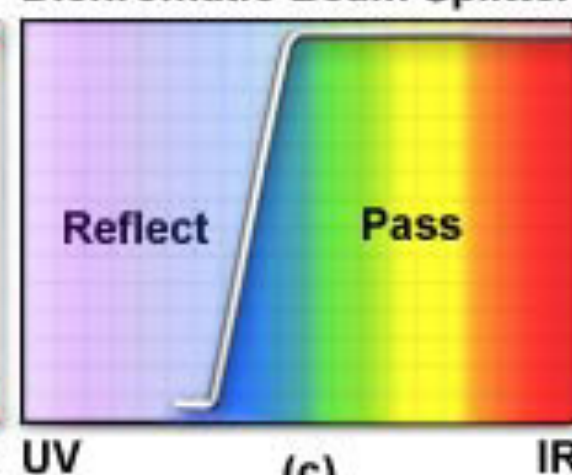
Short Pass Filter



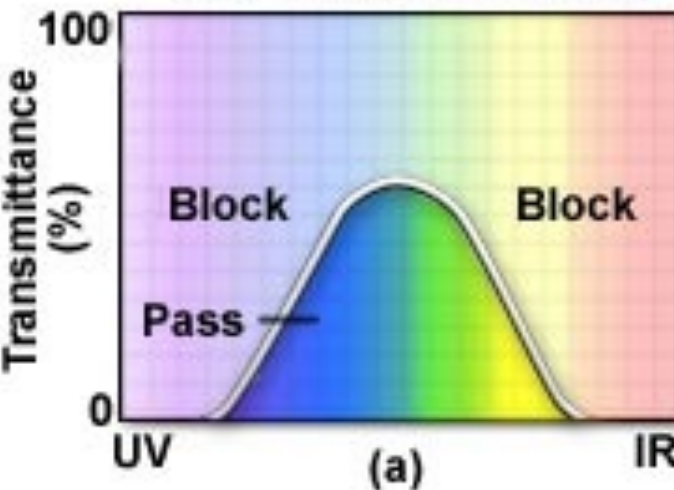
Long Pass Filter



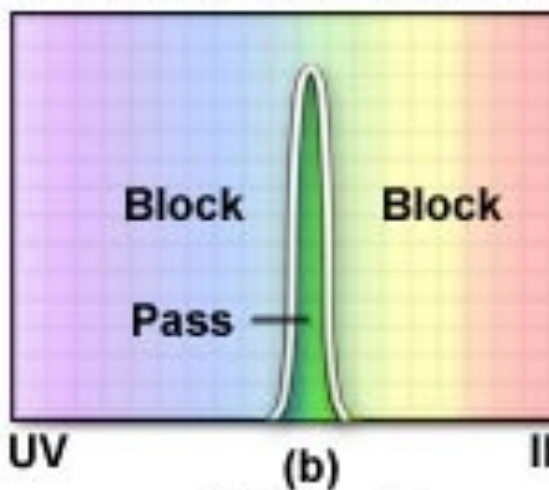
Dichromatic Beam Splitter



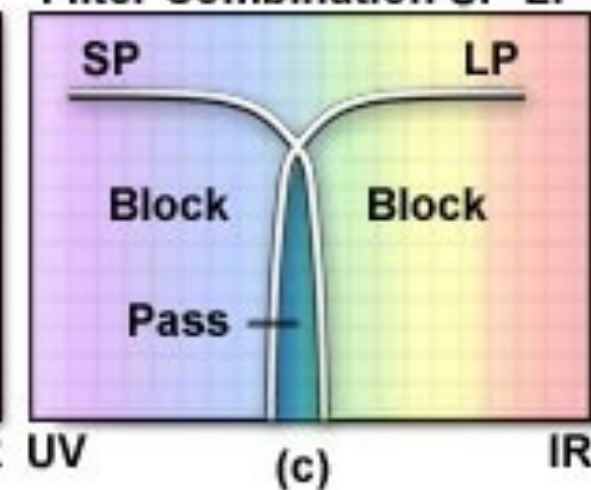
Wide Band Pass Filter



Narrow Band Pass Filter



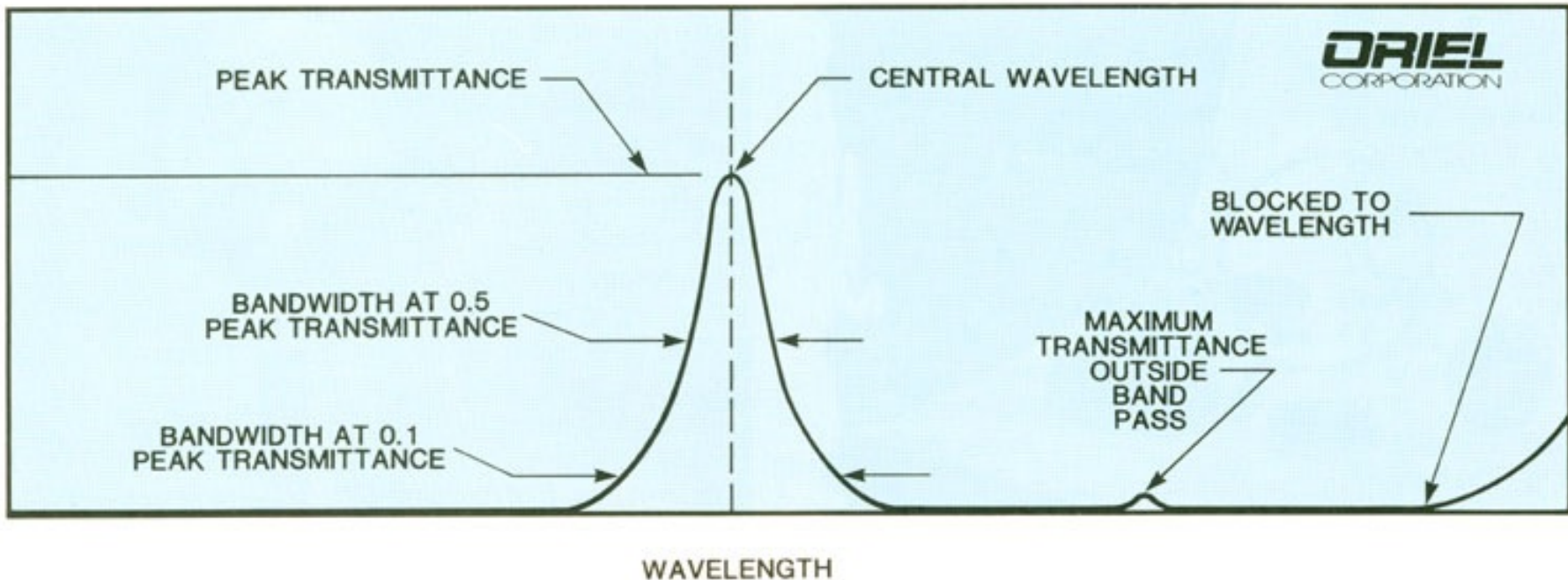
Short Pass and Long Pass Filter Combination SP-LP



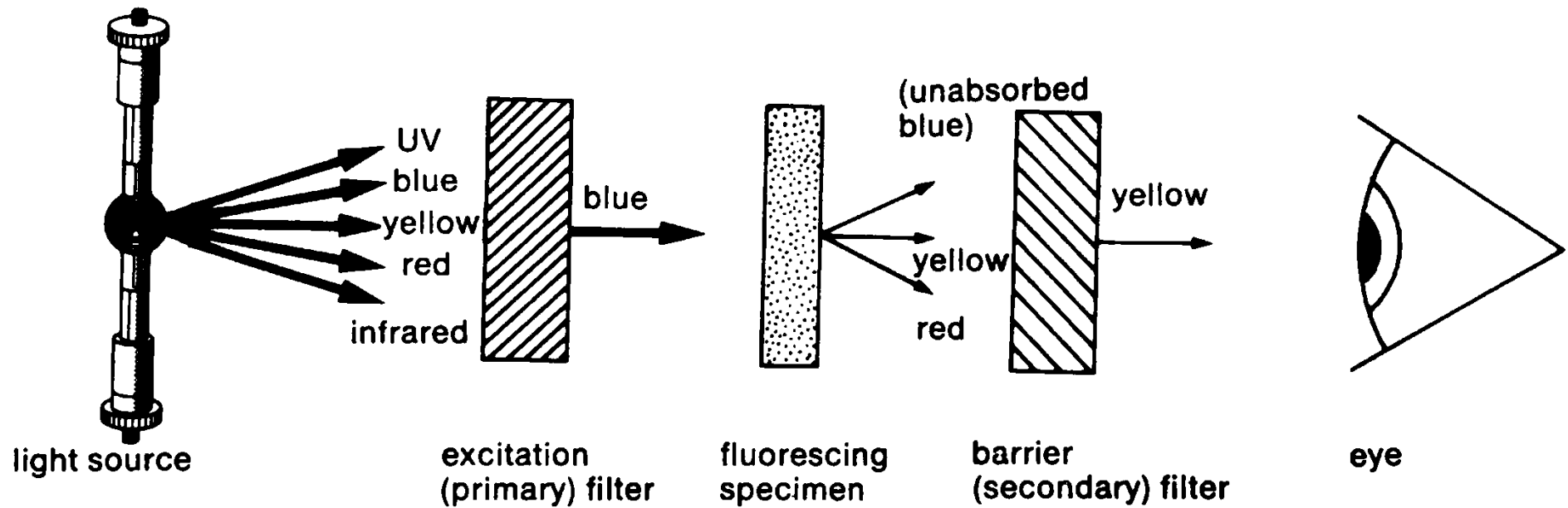
Filtros, nomenclatura

- Filtros de excitación: x
- Filtros de emisión: m
- Beamsplitter (espejo dicroico): bs, dc, FT
- 480/30 = the center wavelength is at 480nm; full bandwidth is 30 [= +/- 15]
- BP = bandpass, light within the given range of wavelengths passes through (BP 450-490)
- LP = indicates a longpass filter which transmits wavelengths longer than the shown number and blocks shorter wavelengths (LP 500)
- SP = indicates a shortpass filter which transmits wavelengths shorter than the shown number, and blocks longer wavelengths

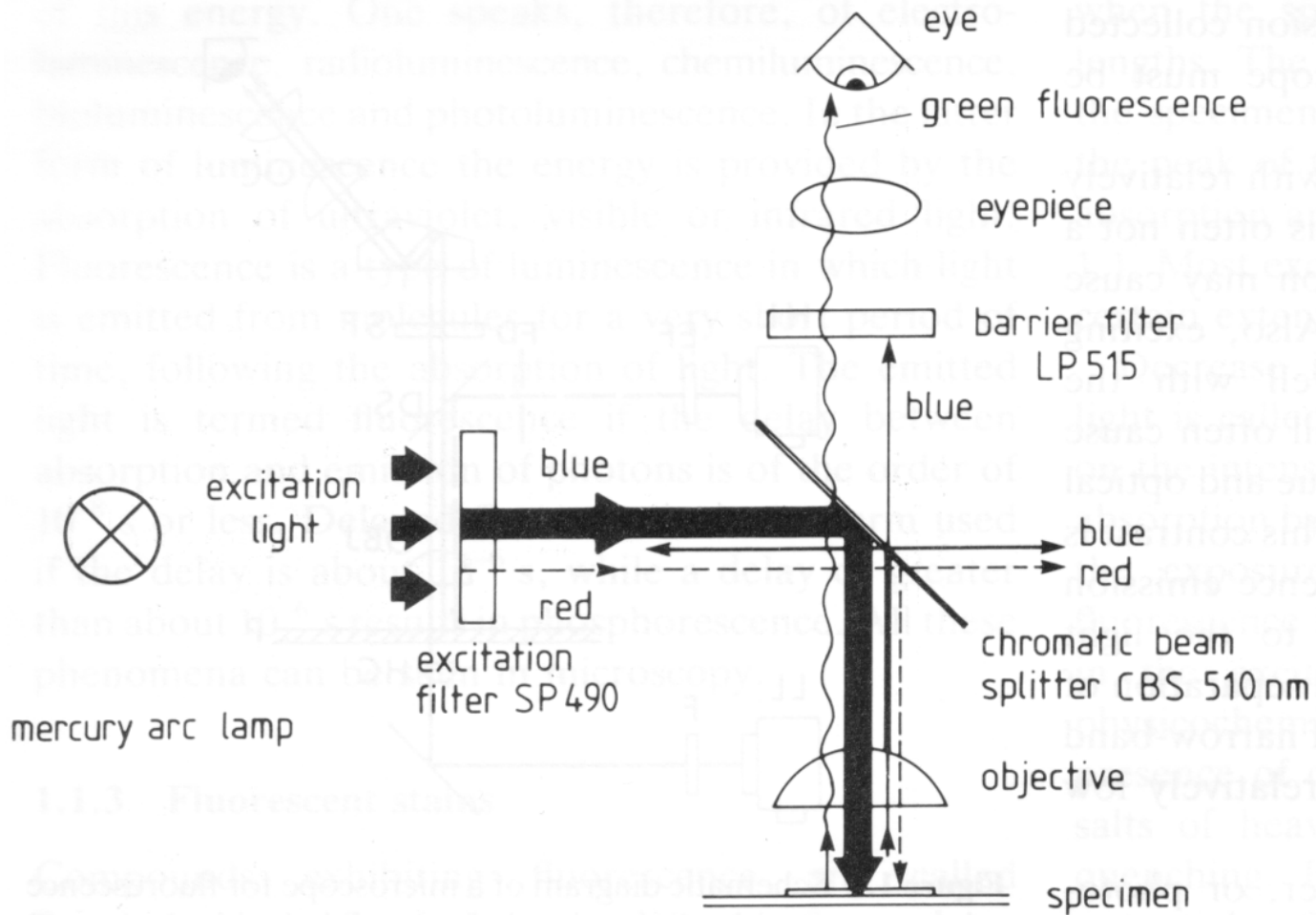
Filtros, nomenclatura



Idea básica

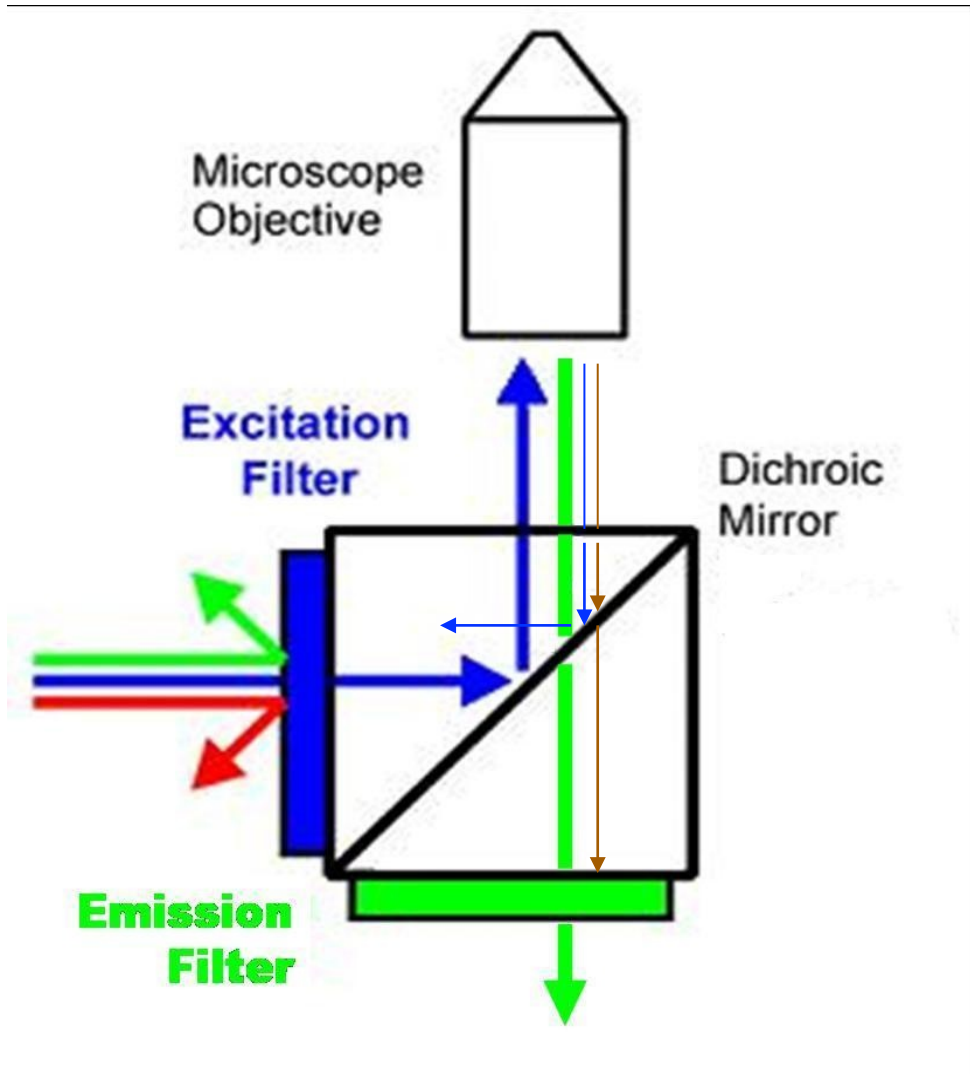


Diseño básico para epi-fluorescencia



El objetivo actúa como condensador; la luz de la excitación es reflejada para que no llegue al ojo

El cubo



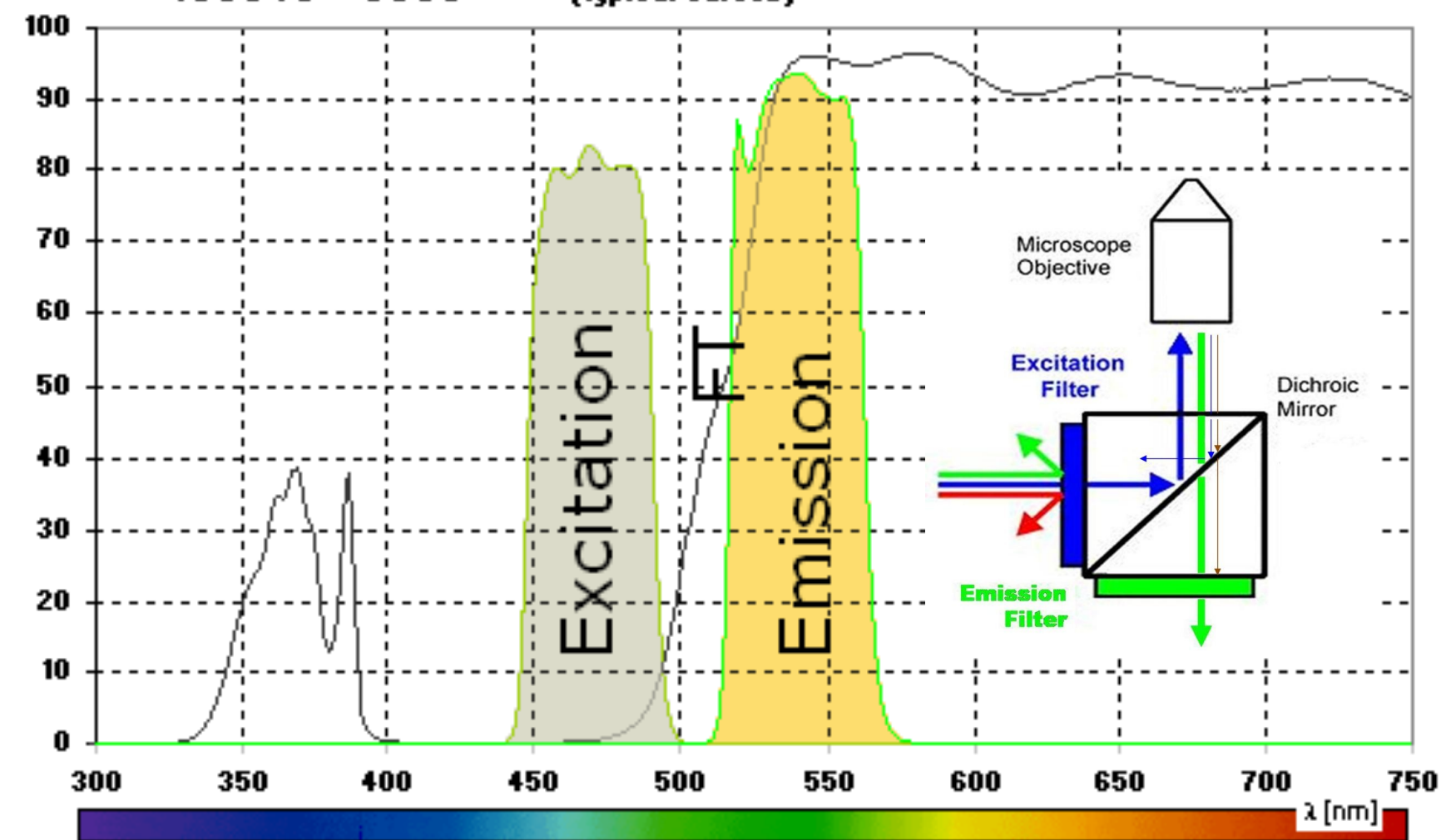
- a) Filtro de excitación
- b) Espejo dicroico
- c) Filtro de emisión

El cubo

Filter set 10
488010 - 0000

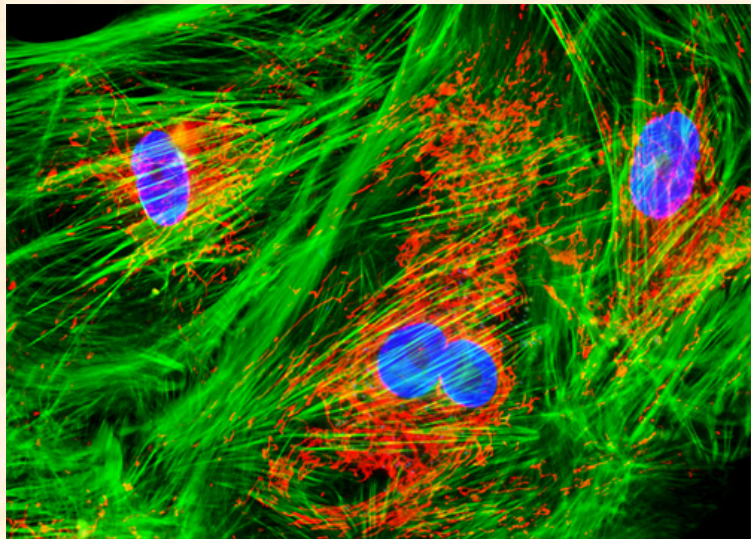
(typical curves)

excitation: BP 450 - 490
beamsplitter: FT 510
emission: BP 515 - 565

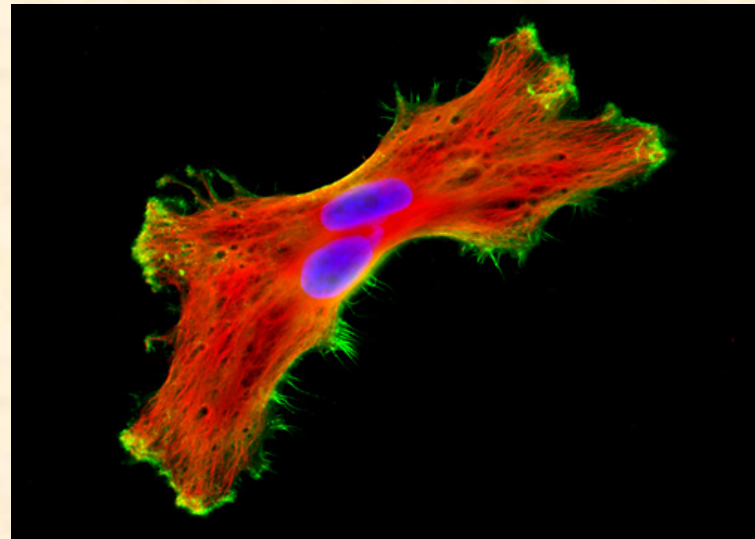




Fluorescent Microscopic images (1)



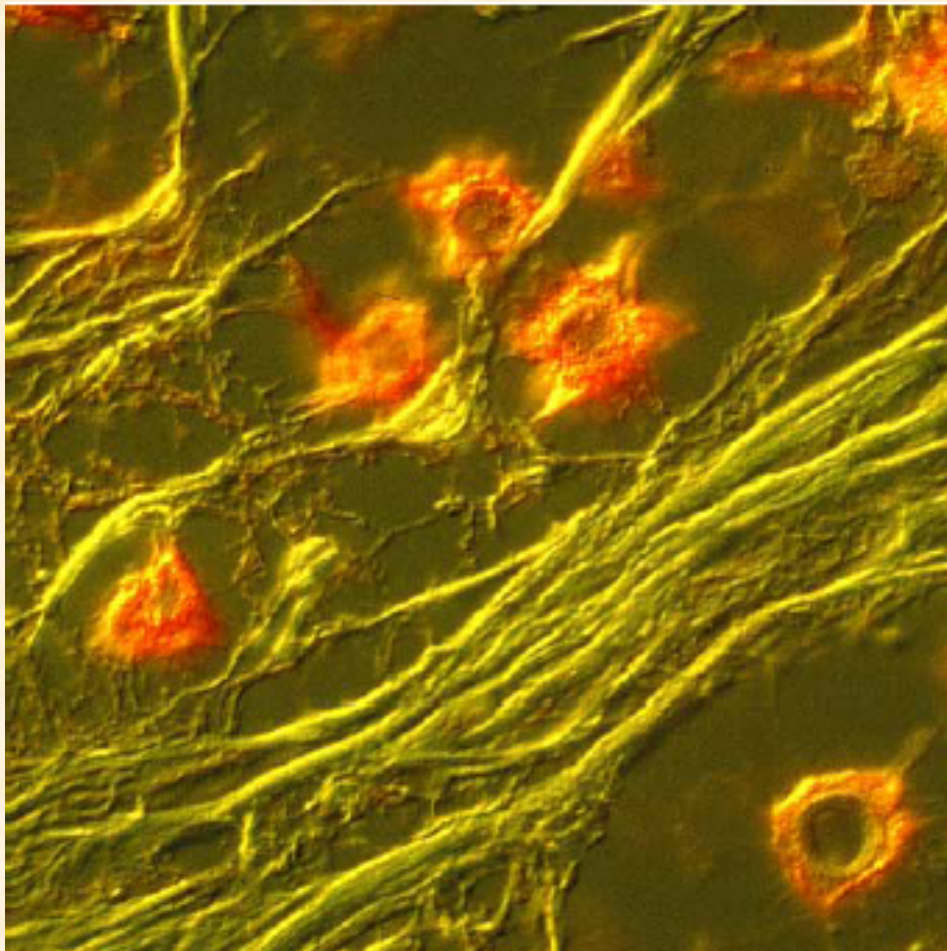
Human cortical neurons



Human brain glioma cells



Fluorescent Microscopic images



Fluorescence/DIC
combination, cat brain tissue
infected with Cryptococcus

Photobleaching

- Photobleaching (“blicheo”) - Cuando un fluoróforo pierde su propiedad fluorescente debido al daño producido por la propia luz de excitación.

Differential Photobleaching in Multiply-Stained Tissues

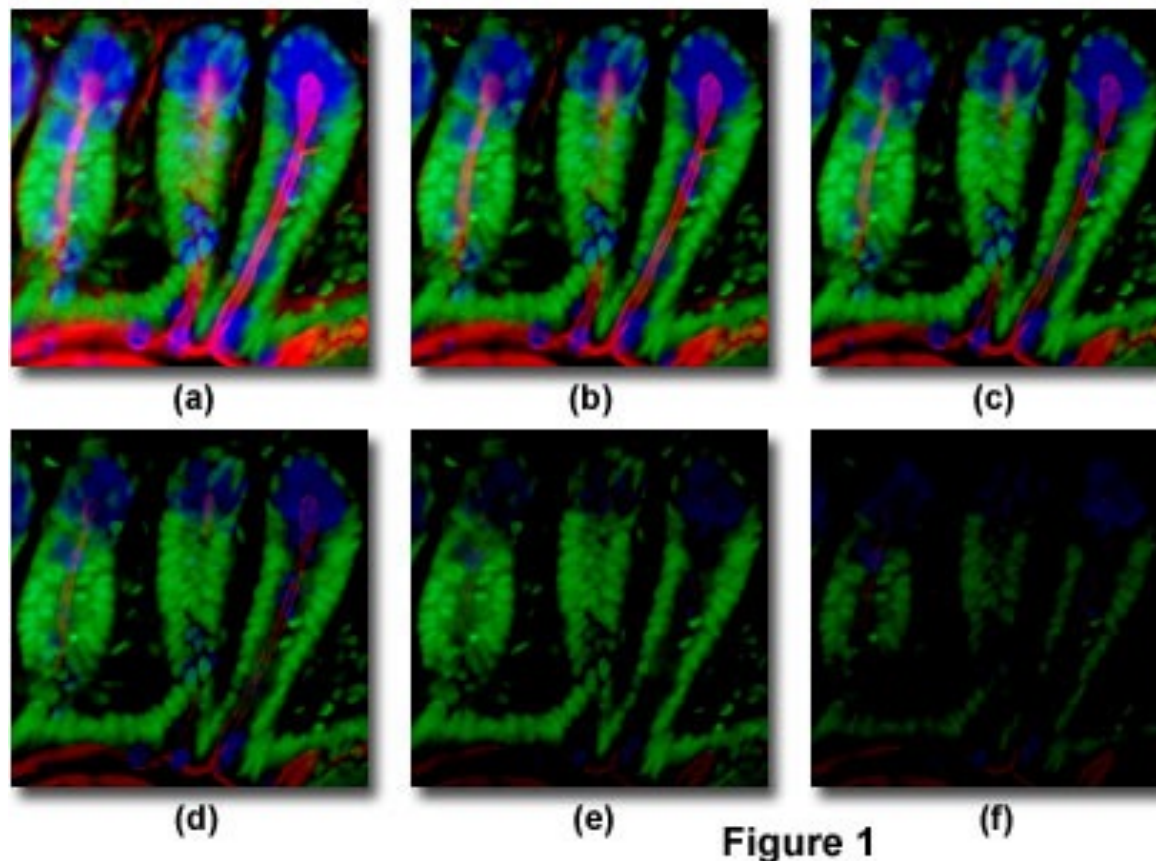


Figure 1

Técnicas standard

- wide-field
- Confocal
- Spinning disk confocal
- 2-photon

Wide-field fluorescence

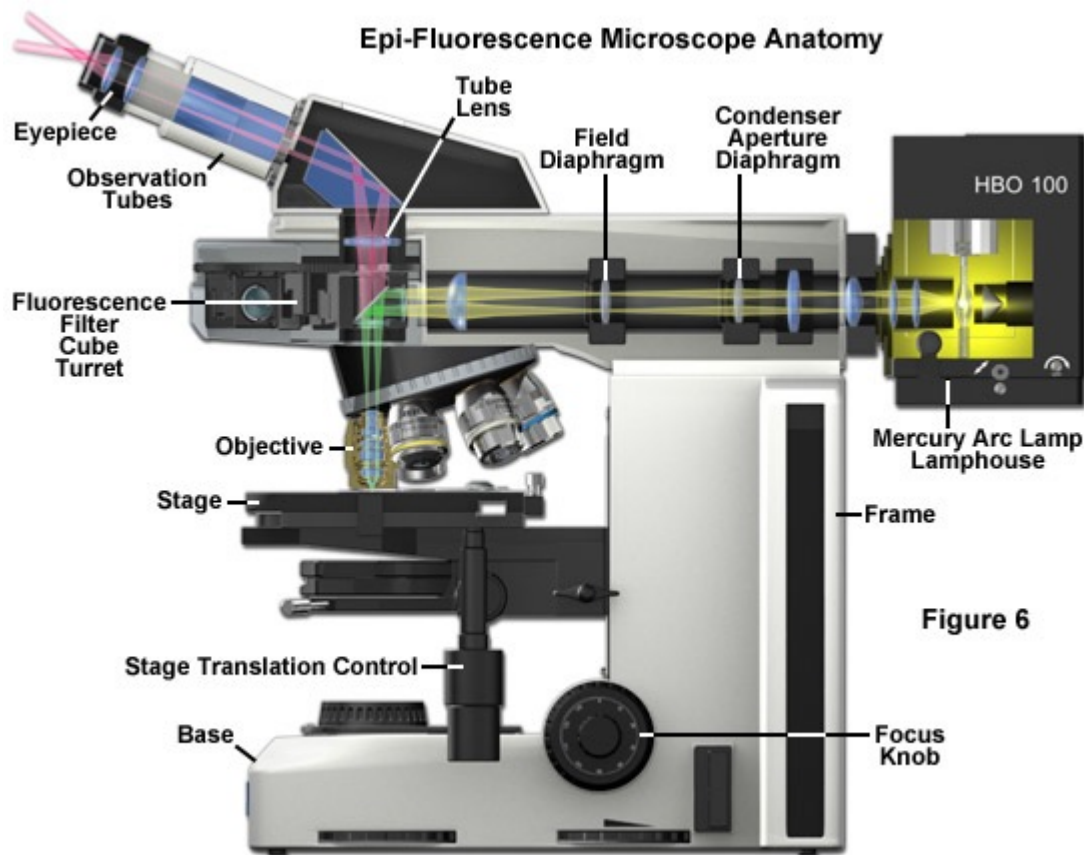
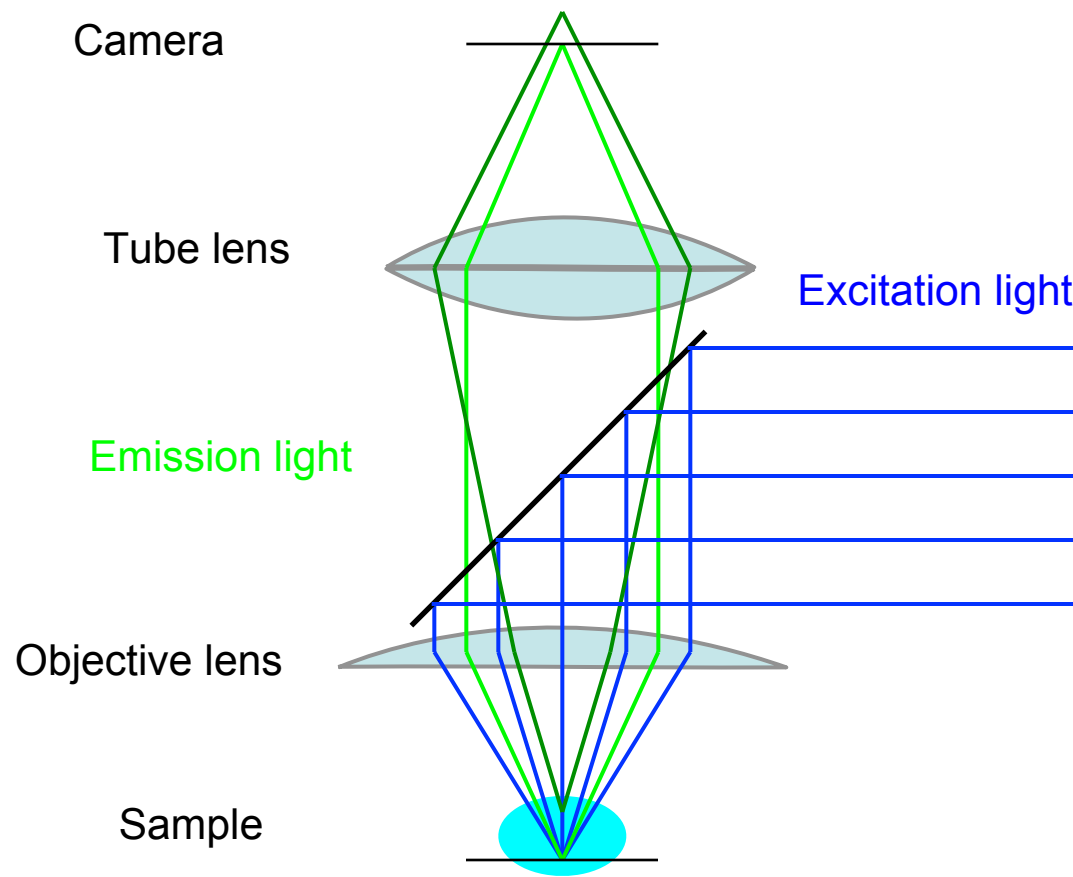


Figure 6

- reflected light method
- Multiple wavelength source (polychromatic, i.e. mercury lamp)
- Illumination of whole sample



Problema – la fluorescencia es emitida a lo largo de todo el cono de iluminación.

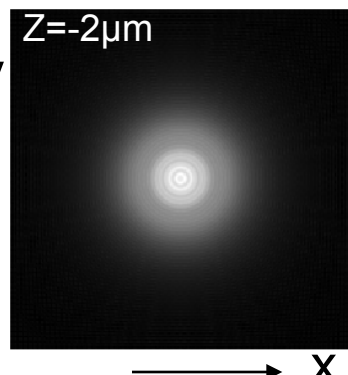
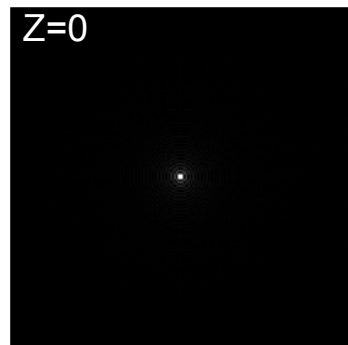
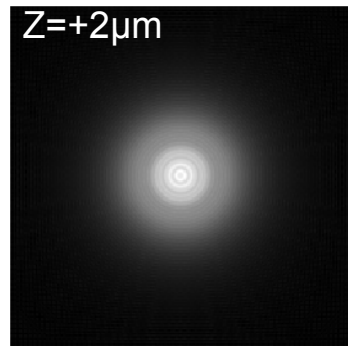
Widefield vs iluminación de un punto



Pero, ¿cómo iluminamos toda la muestra con un punto? Escaneo

De todos modos, debido a la naturaleza ondulatoria de la luz la

2D PSF
for different defocus

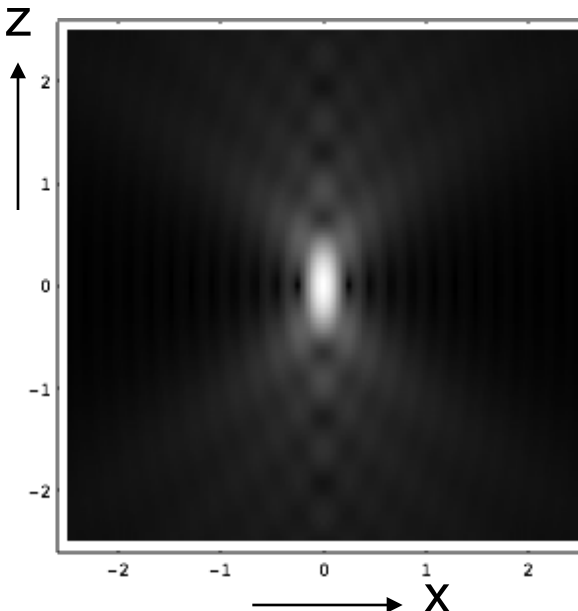


The Point Spread Function (PSF)

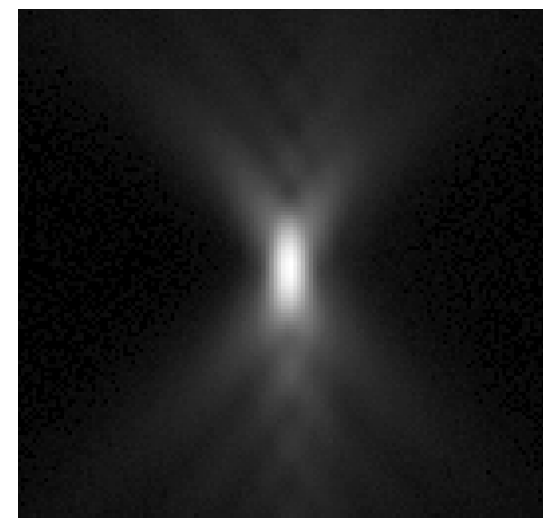
Imagen de un objeto puntual

3D PSF

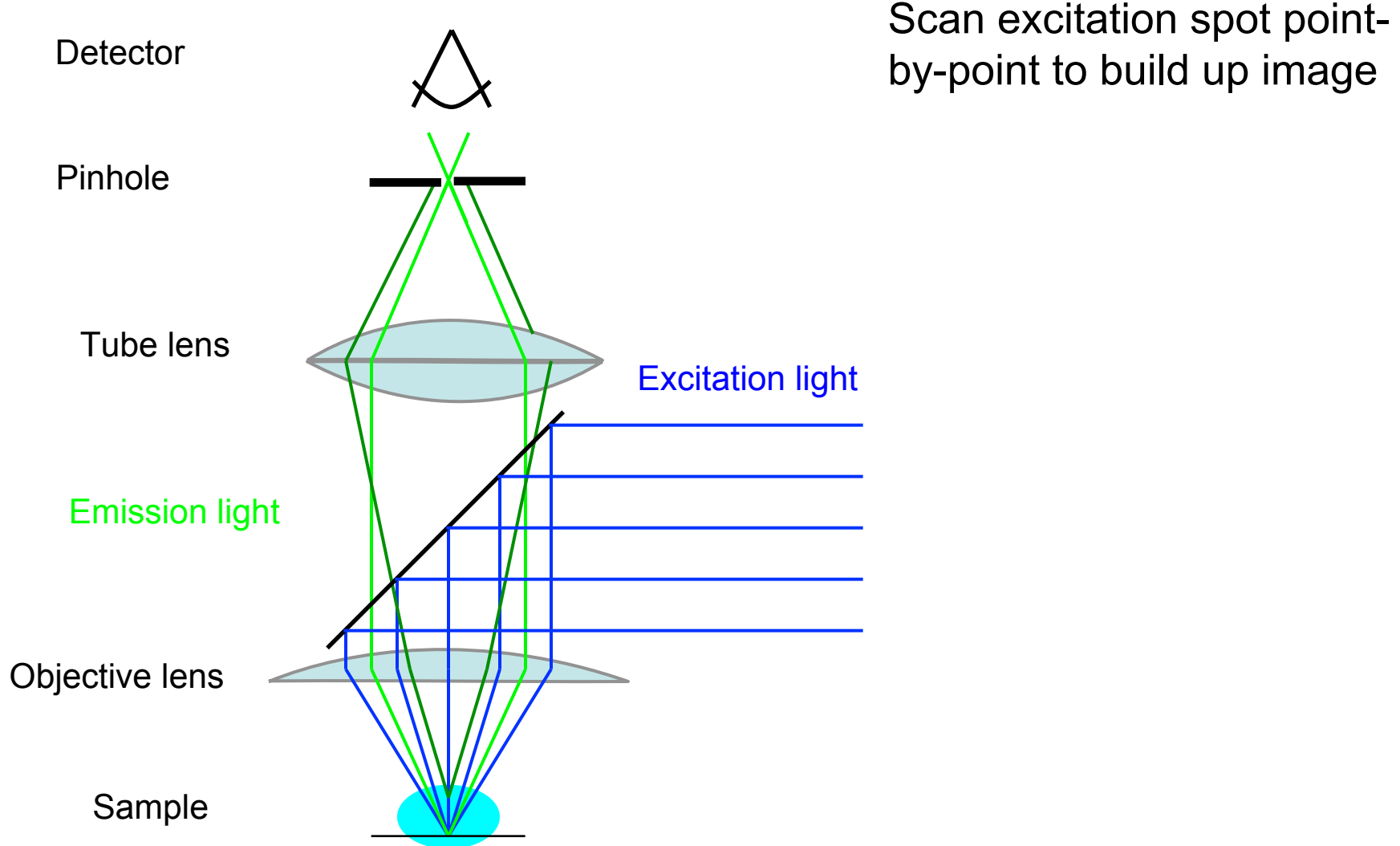
Calculated



Measured



The confocal microscope

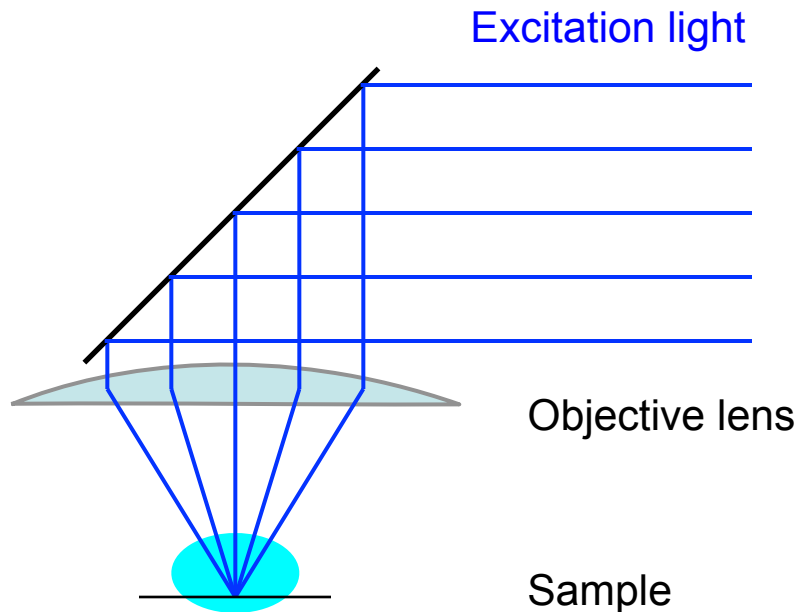


Fuentes de luz

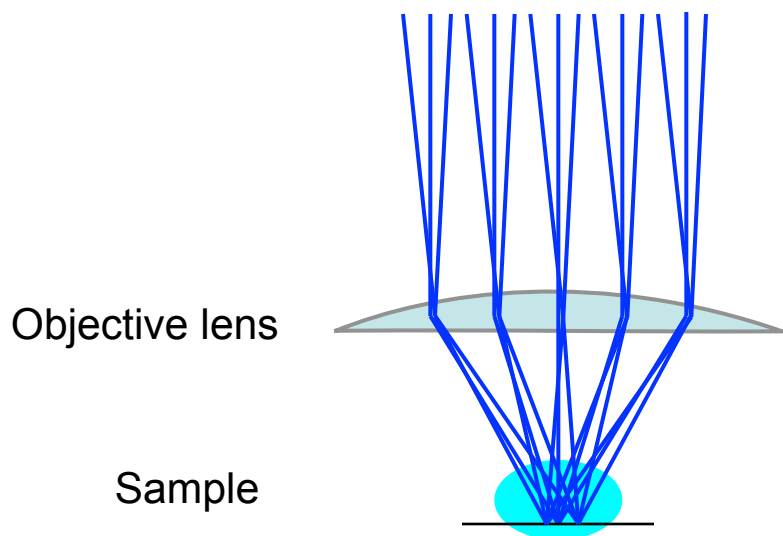
Excitation light must be focused to a diffraction limited spot

Could be done with an arc lamp and pinhole – but very inefficient

Enter the laser:
Perfectly collimated and
high power



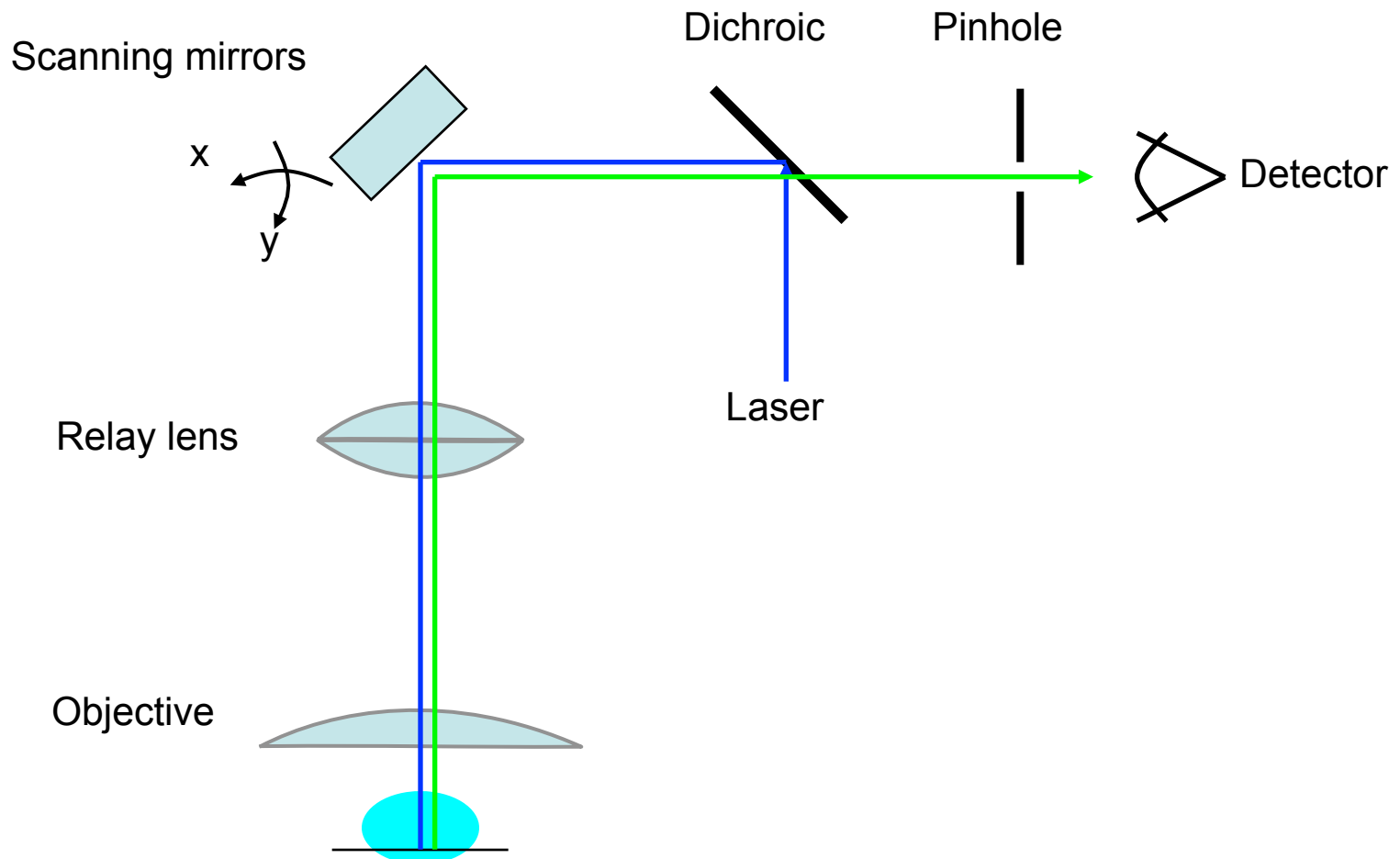
Scanning



Changing entrance angle
of illumination moves
illumination spot on
sample

The emission spot moves,
so we have to make sure
pinhole is coincident with
it

Confocal optical path



3D fluorescence microscopy

Acquire a "focal series" (stack) of images

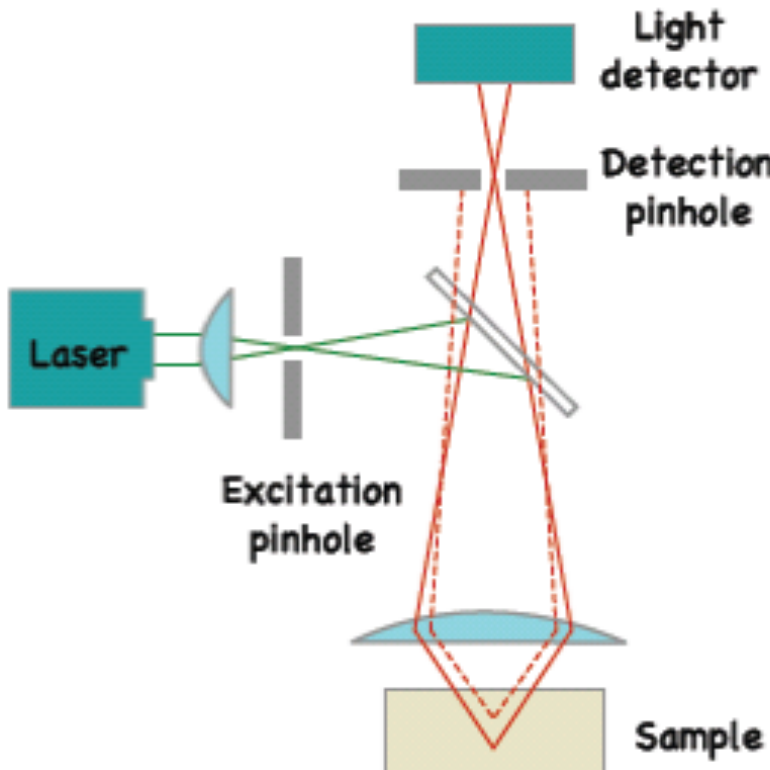
Problem:

Each image contains out-of-focus blur from other focal planes

Approach 1

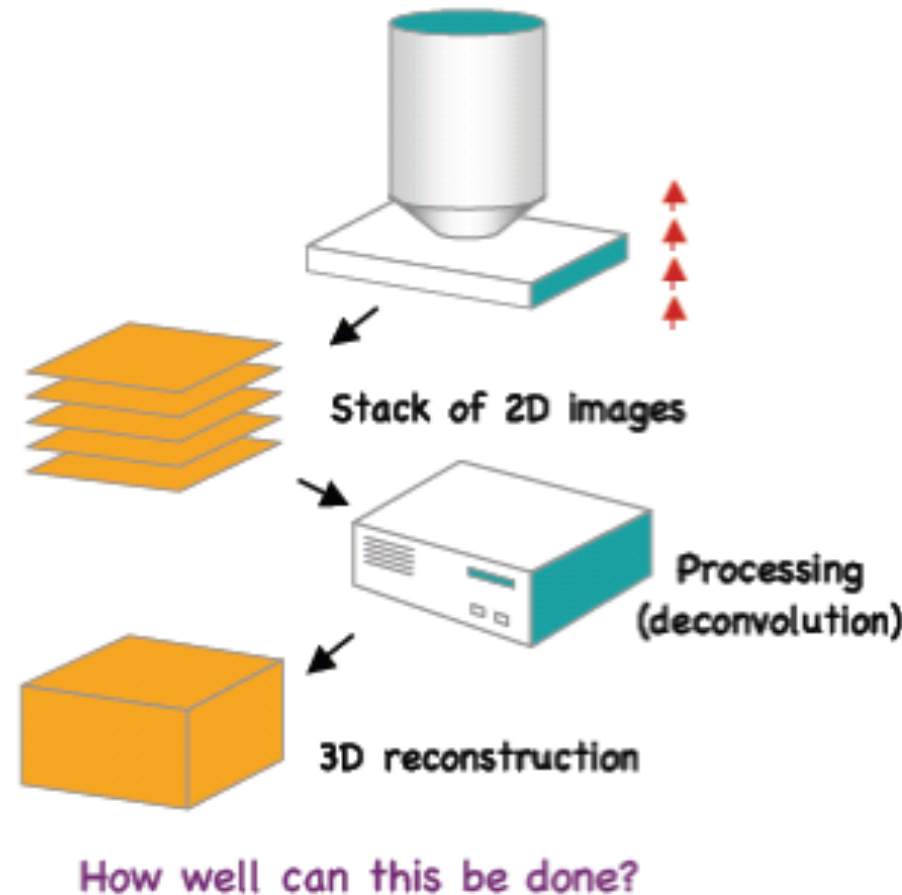
Physically exclude the blur

Example: confocal microscopy



Approach 2

Remove the blur computationally



Light source for fluorescence microscopy

Arc lamps

Xenon

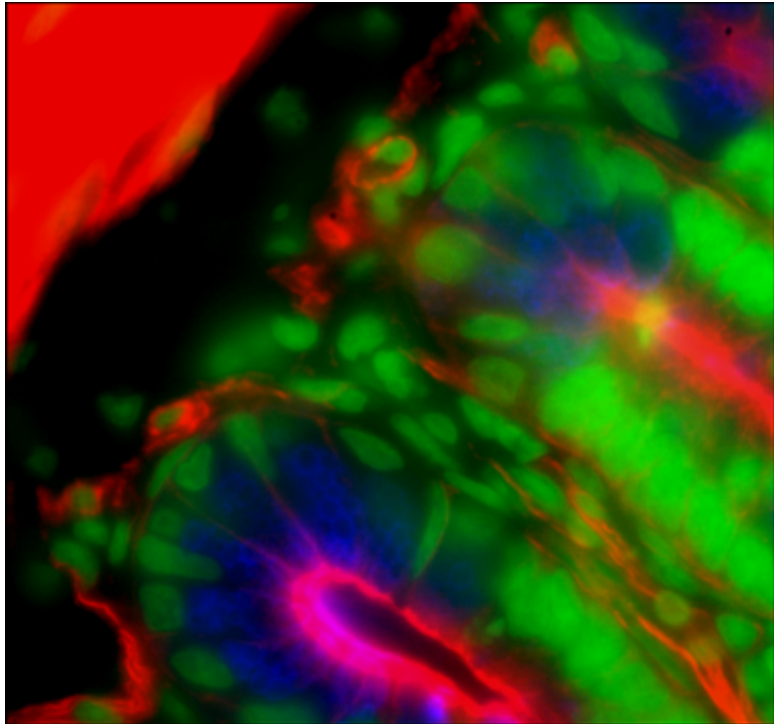
Mercury

Laser types

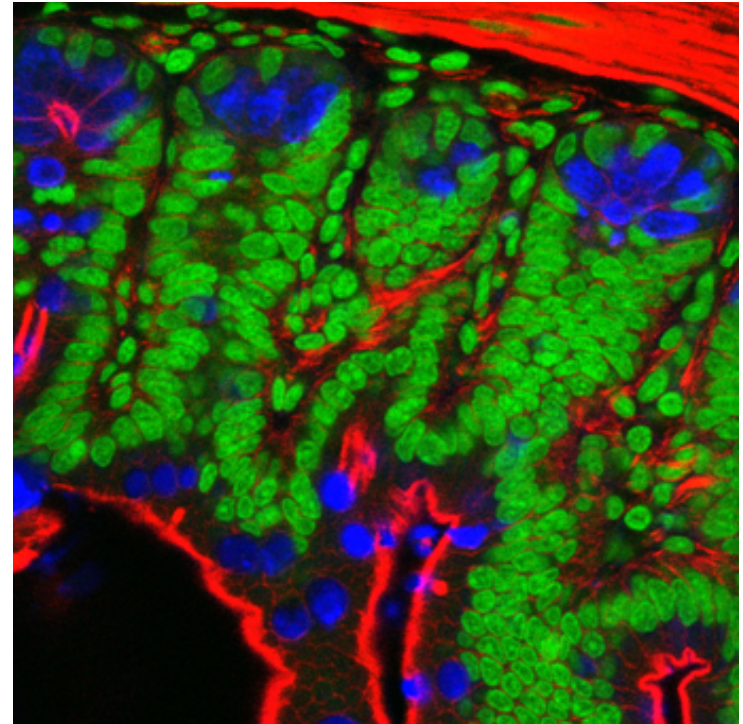


	UV							IR
Argon	351	364	457	477	488	514		
Blue diode		405	440					
Helium-Cadmium	354		442					
Krypton-Argon				488		569	647	
	Green Helium-Neon					543		
Yellow Helium-Neon						594		
Orange Helium-Neon						612		
Red Helium-Neon						633		
Red diode						635	650	
Ti:Sapphire						720-980		

Wide-field vs confocal

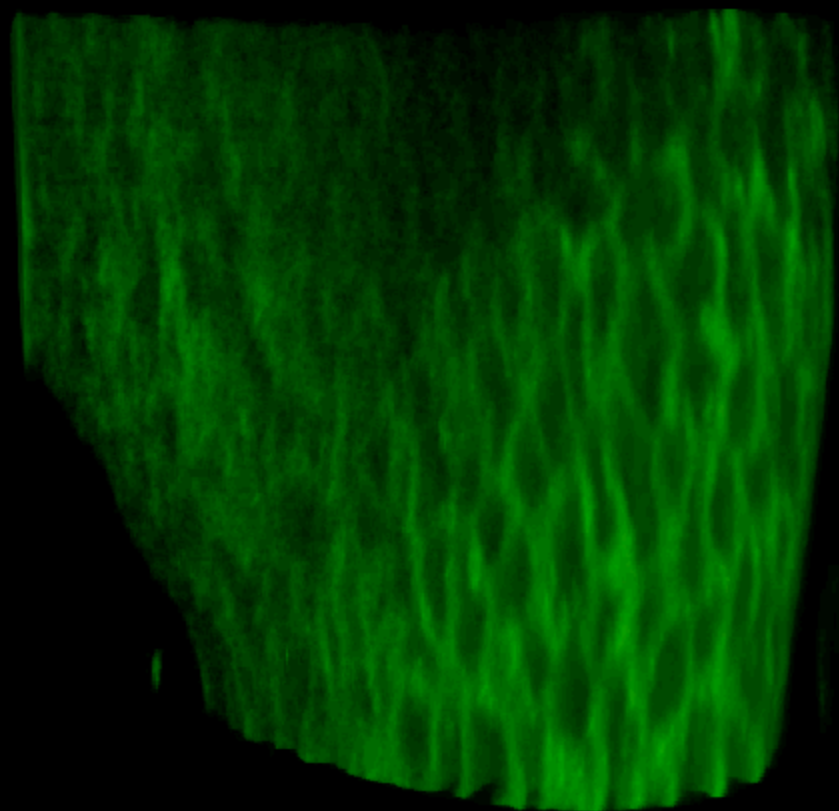


Wide-field image



confocal image

Molecular probes test slide Nr 4, mouse intestine

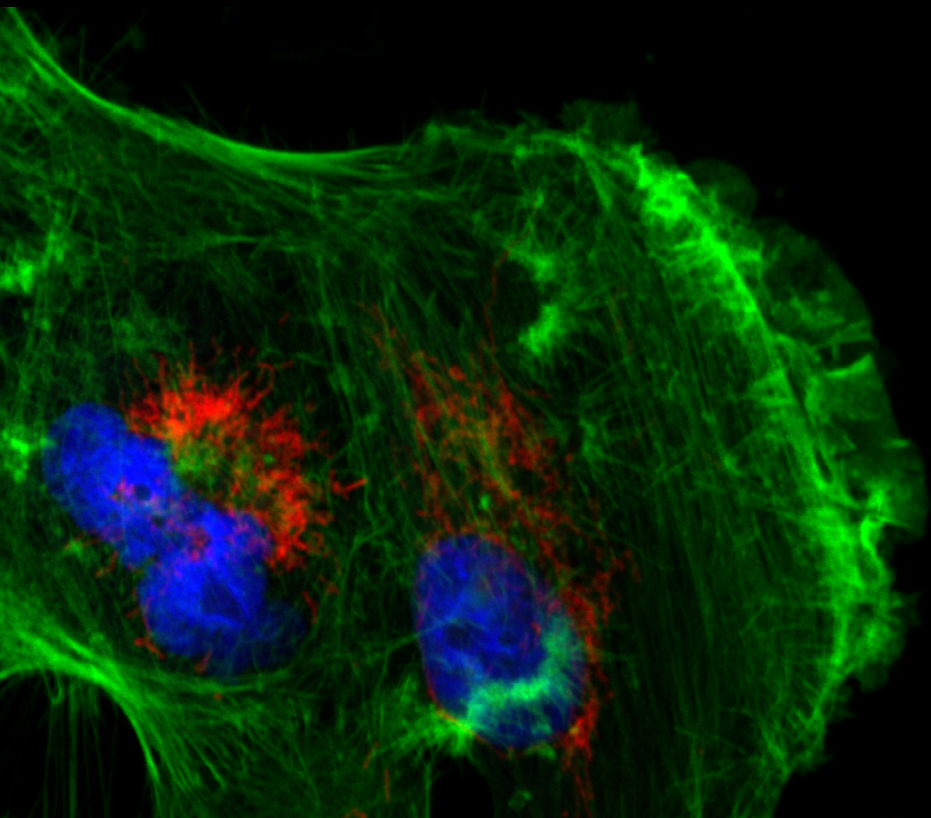


Laser-Scanning Confocal

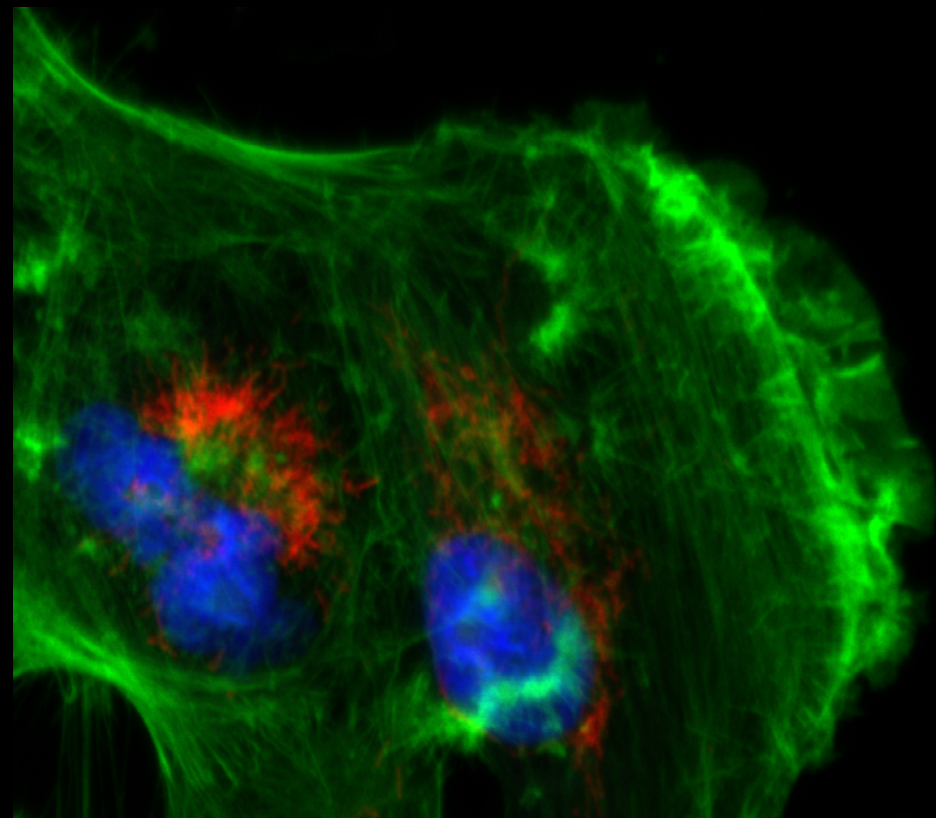
E11.5 mouse lung stained
for E-cadherin

Nan Tang, Martin lab

Confocal vs. Widefield



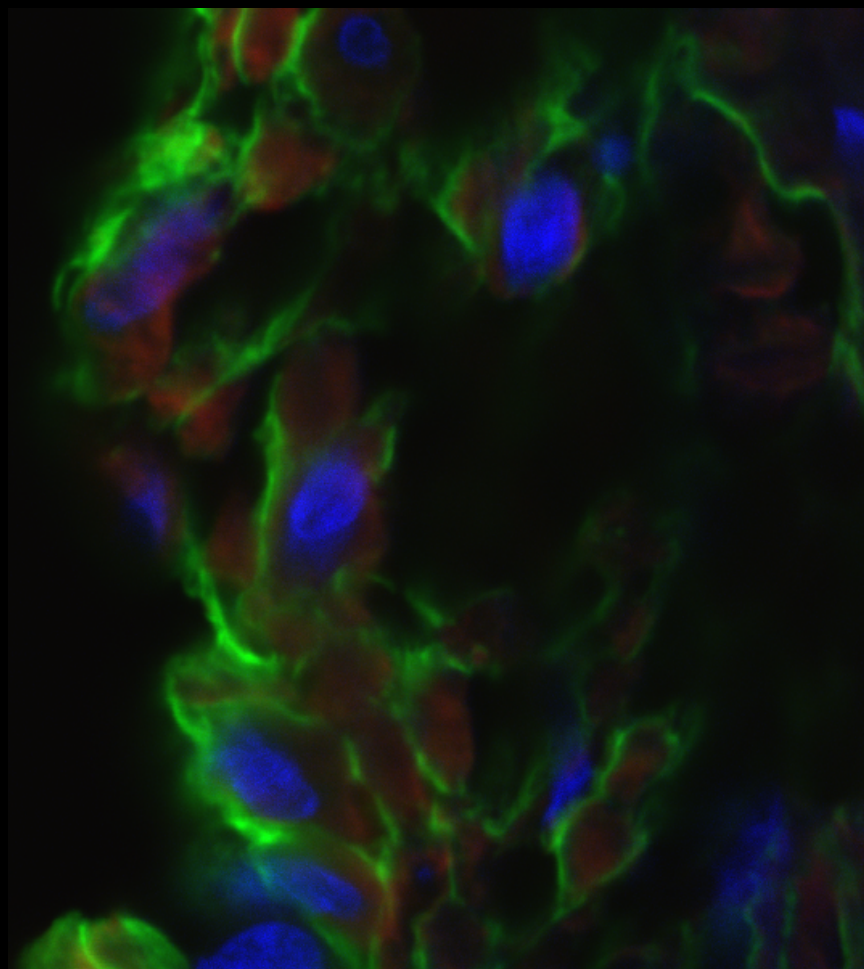
Confocal



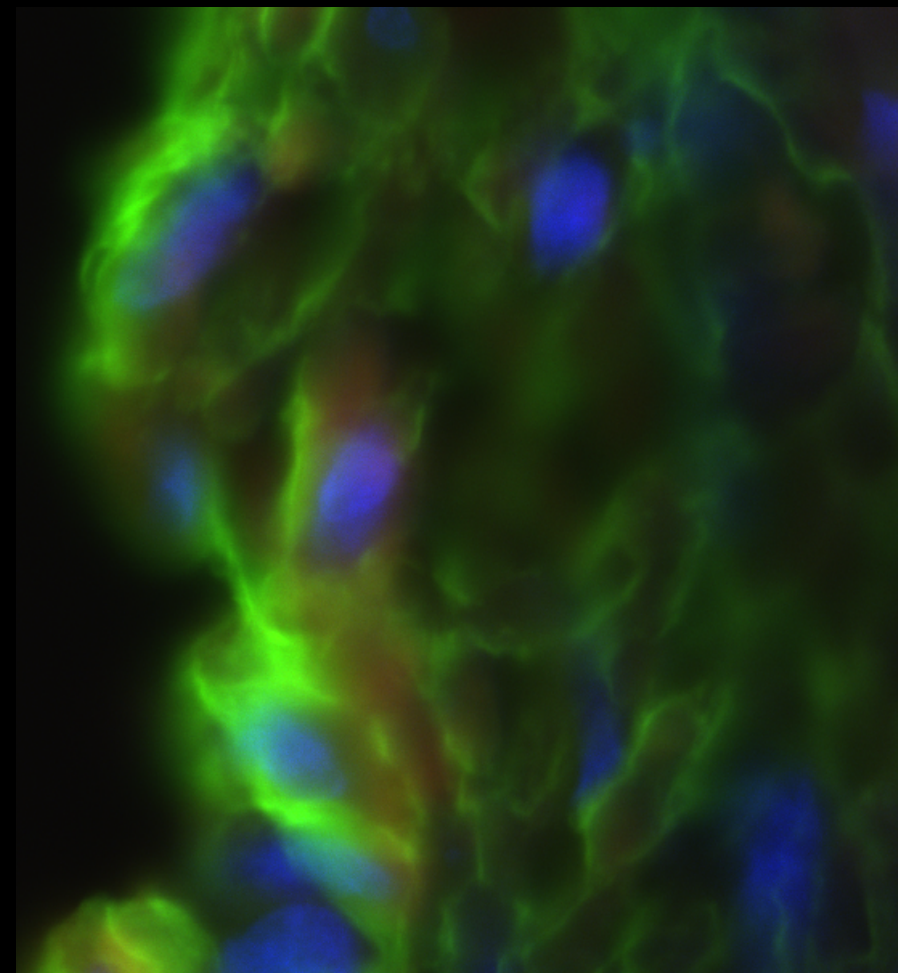
Widefield

Tissue culture cell with 60x / 1.4NA objective

Confocal vs. Widefield



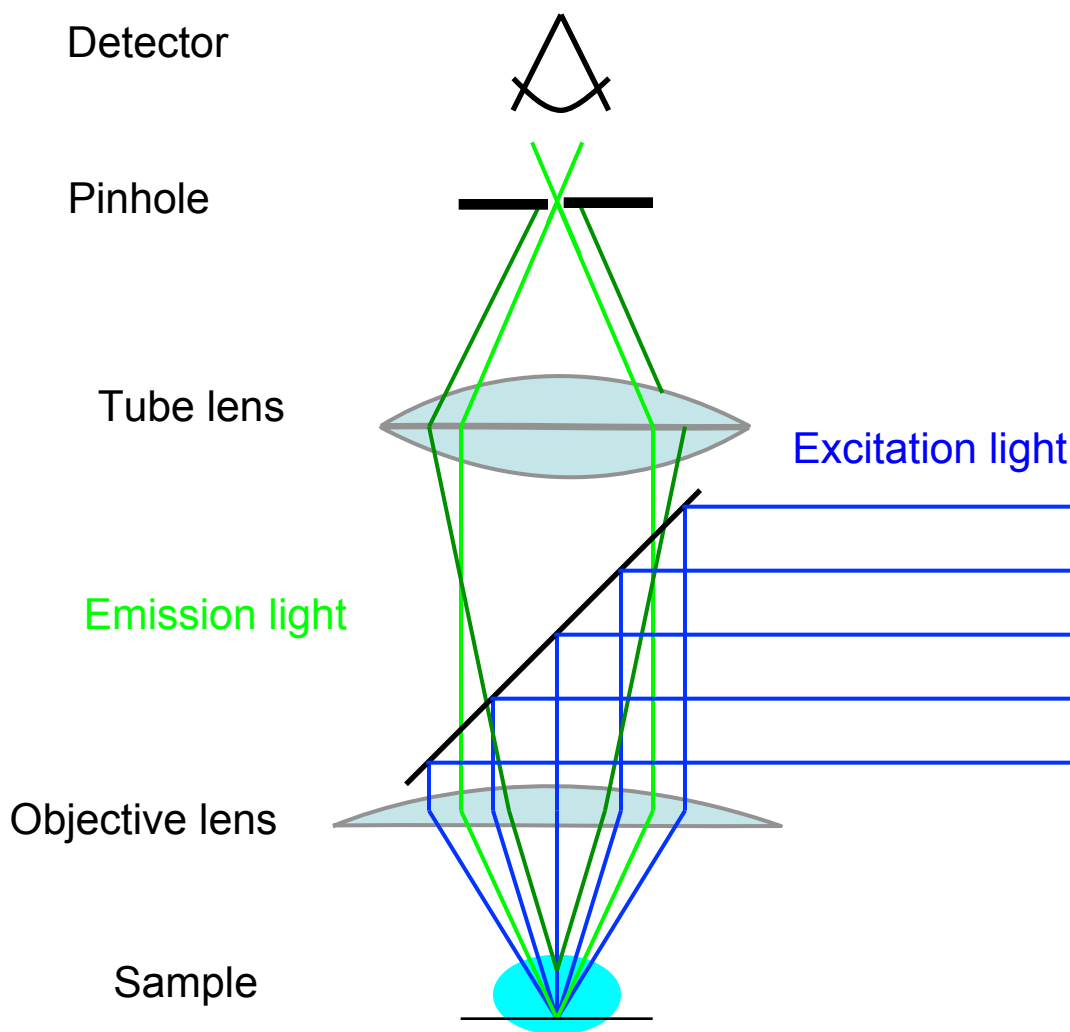
Confocal



Widefield

20 μm rat intestine section recorded with 60x / 1.4NA objective

The confocal microscope



Scan excitation spot point-by-point to build up image

Problems:

Slow (~1 sec to acquire an image)

Low light efficiency (due to use of PMT as detector)

Solution:

Use multiple pinholes and a camera

A Solution: Spinning Disk Confocal

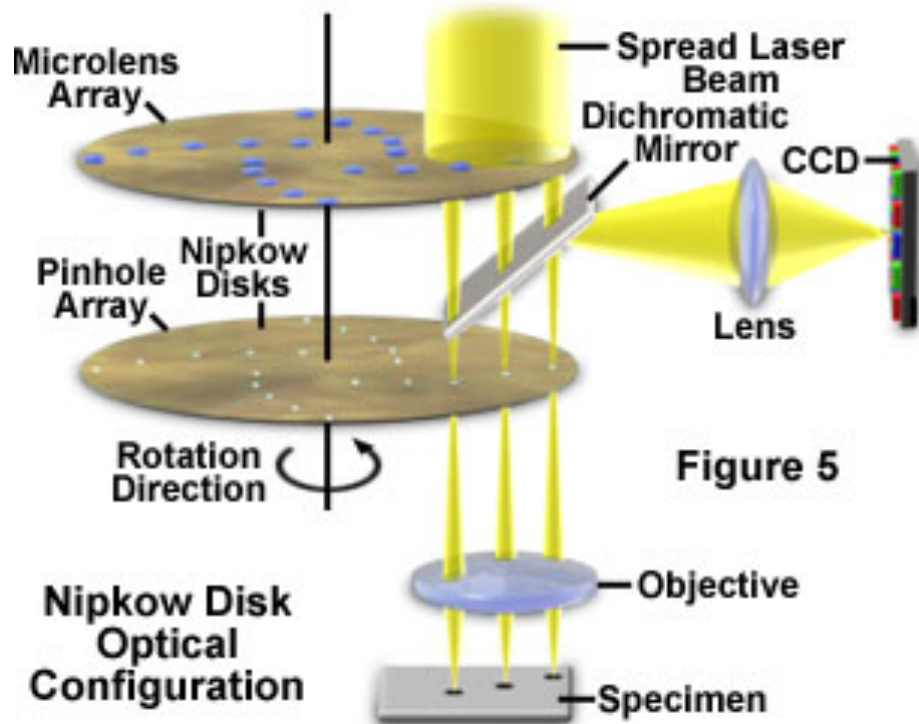


Figure 5

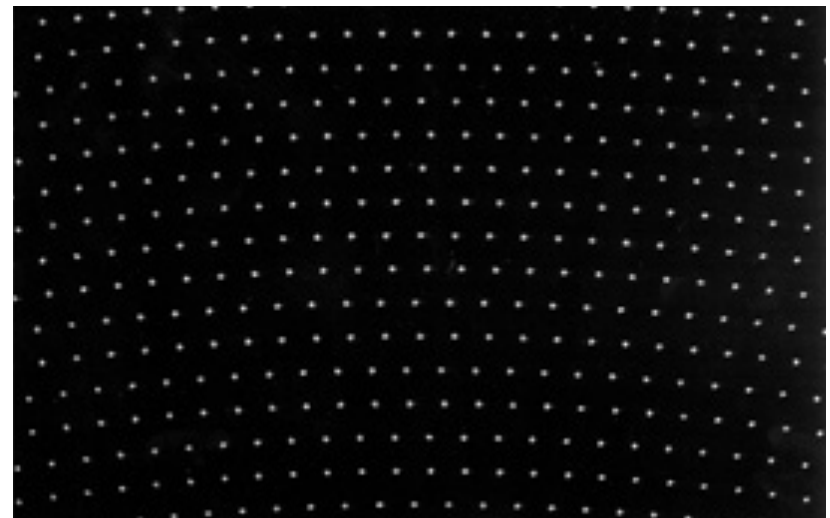


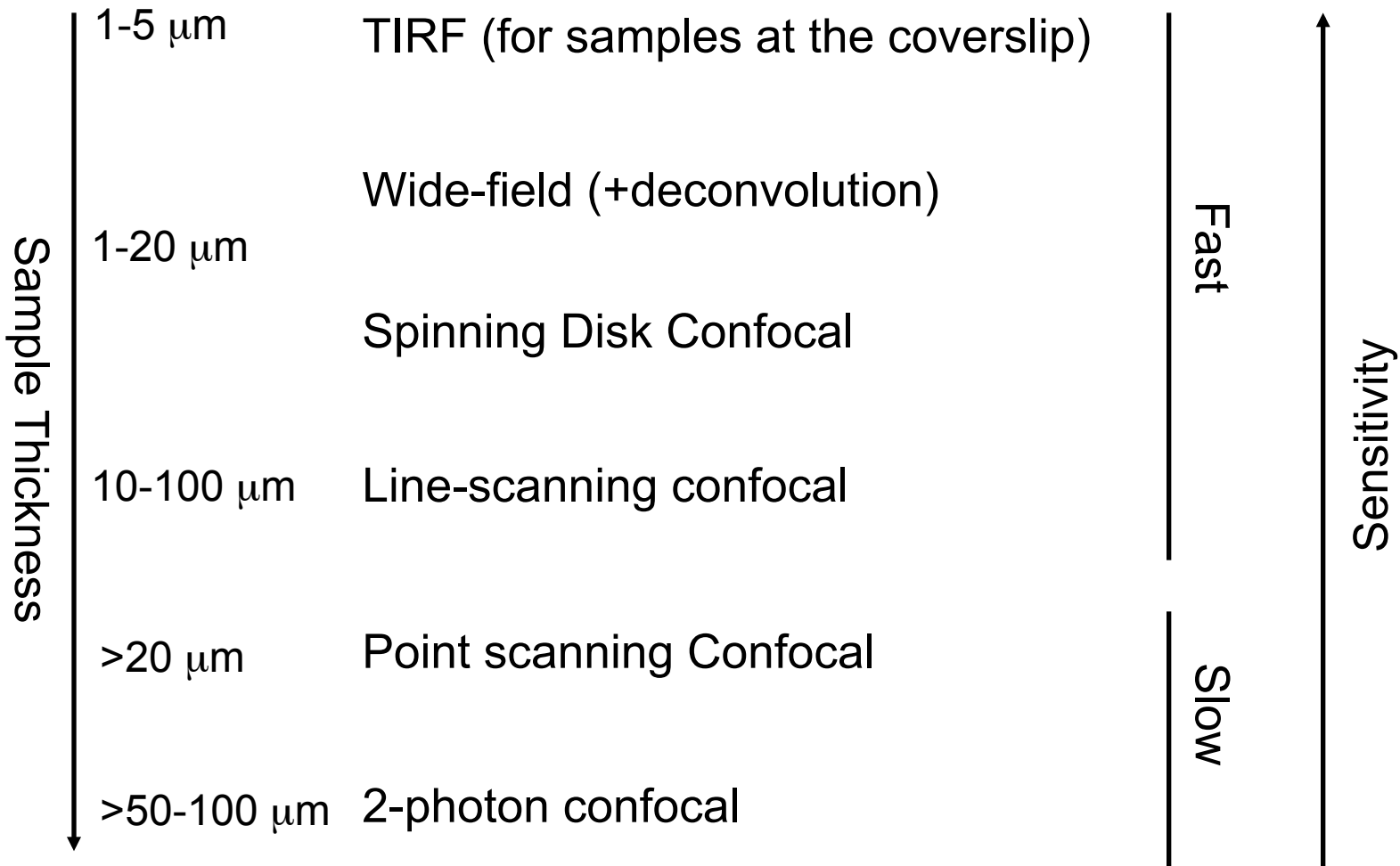
Image with many pinholes at once, so fast

Use CCD as detector, so much higher QE

Pros/Cons of spinning disk

- Fast – multiple points are illuminated at once
- Photon efficient – high QE of CCD
- Gentler on live samples – usually lower laser power
- Fixed pinhole – except in swept-field
- Small field of view (usually)
- Crosstalk through adjacent pinholes limits sample thickness

Which imaging technique should I use?



Slides can be downloaded from:

<http://nic.ucsf.edu/dokuwiki/doku.php?id=presentations>

Resources

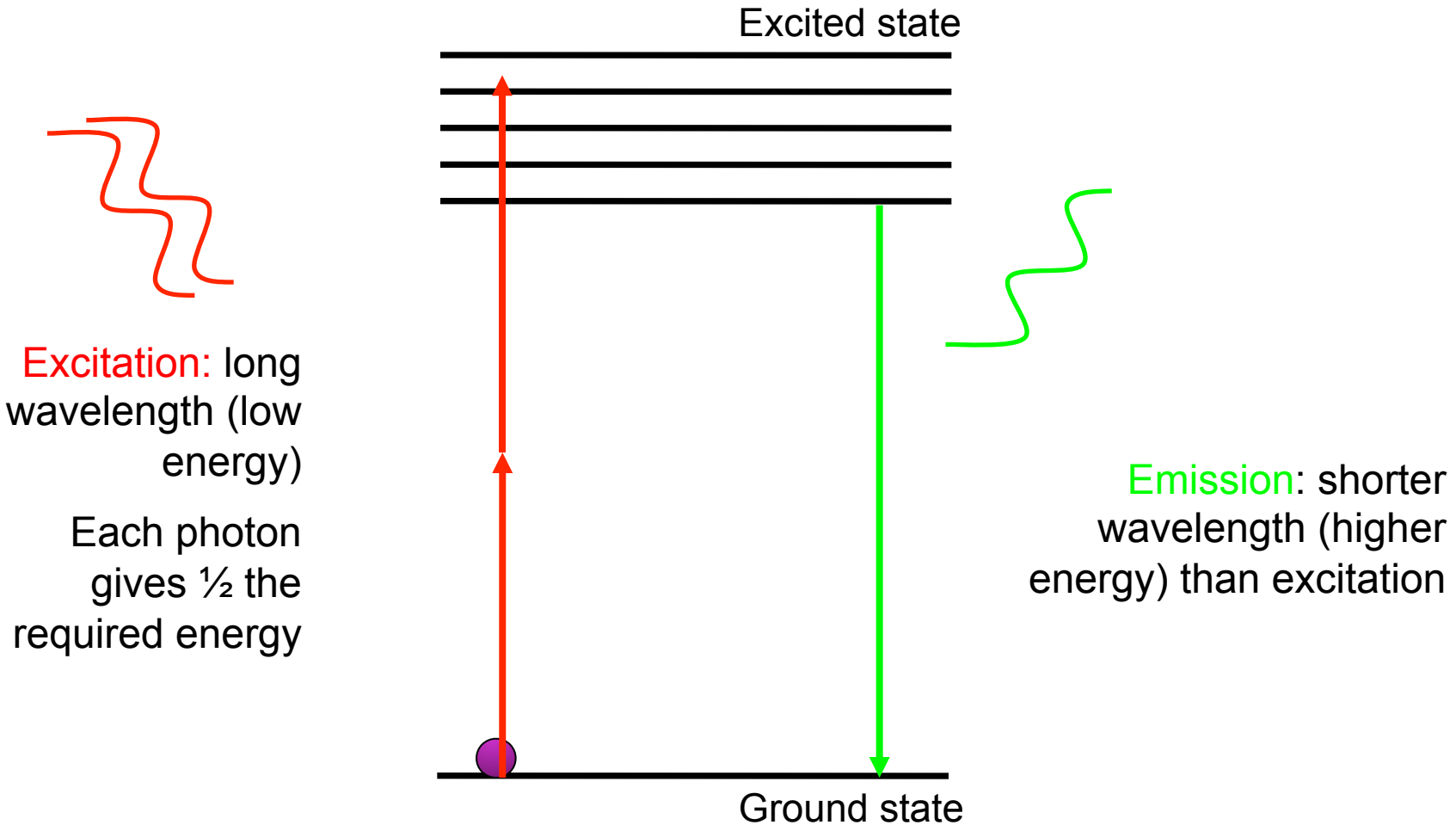
<http://www.microscopyu.com>

<http://micro.magnet.fsu.edu>

James Pawley, Ed. “Handbook of Biological Confocal Microscopy, 3rd ed.”

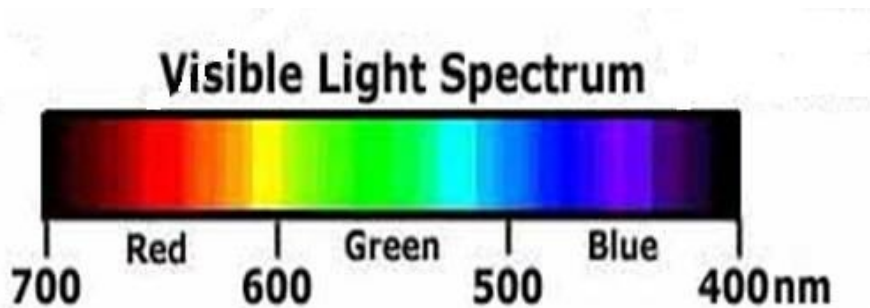
Murray JM et al., J. Microsc. 2007, 228: p.390-405

Microscopía de 2 fotones



2-fotones

- Use of lower energy light to excite the sample (higher wavelength)



1-photon: 488nm
2-photon: 843nm

Advantages:

- ❖ IR light penetrates deeper into the tissue than shorter wavelength
- ❖ 2-photon excitation only occurs at the focal plane → less bleaching above and below the section

- Use for deep tissue imaging

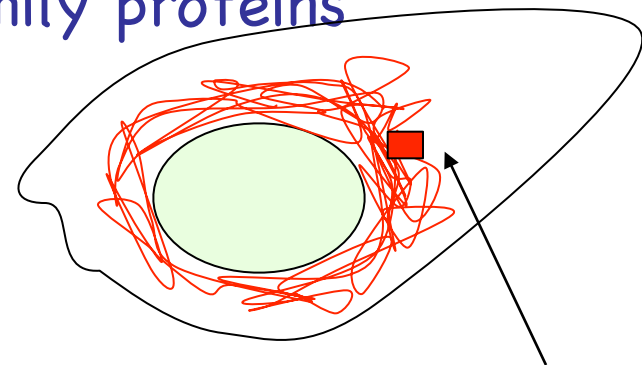
Photoactivation

(Better?) FRAP/FLIP alternative

Some fluorophores can be activated by light

- Photo-uncagable dyes
- GFP-family proteins

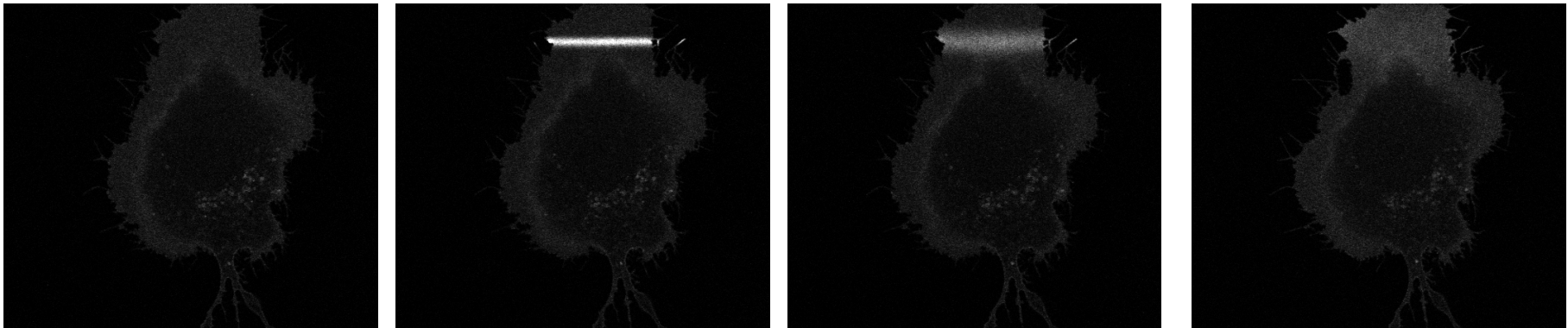
Look for weak light
against dark background
Instead of slight dimming
of bright background



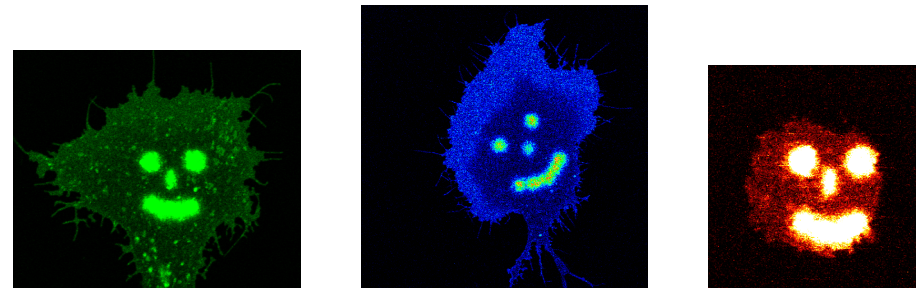
Activate a small area
Watch fluorescence spread

photoactivation

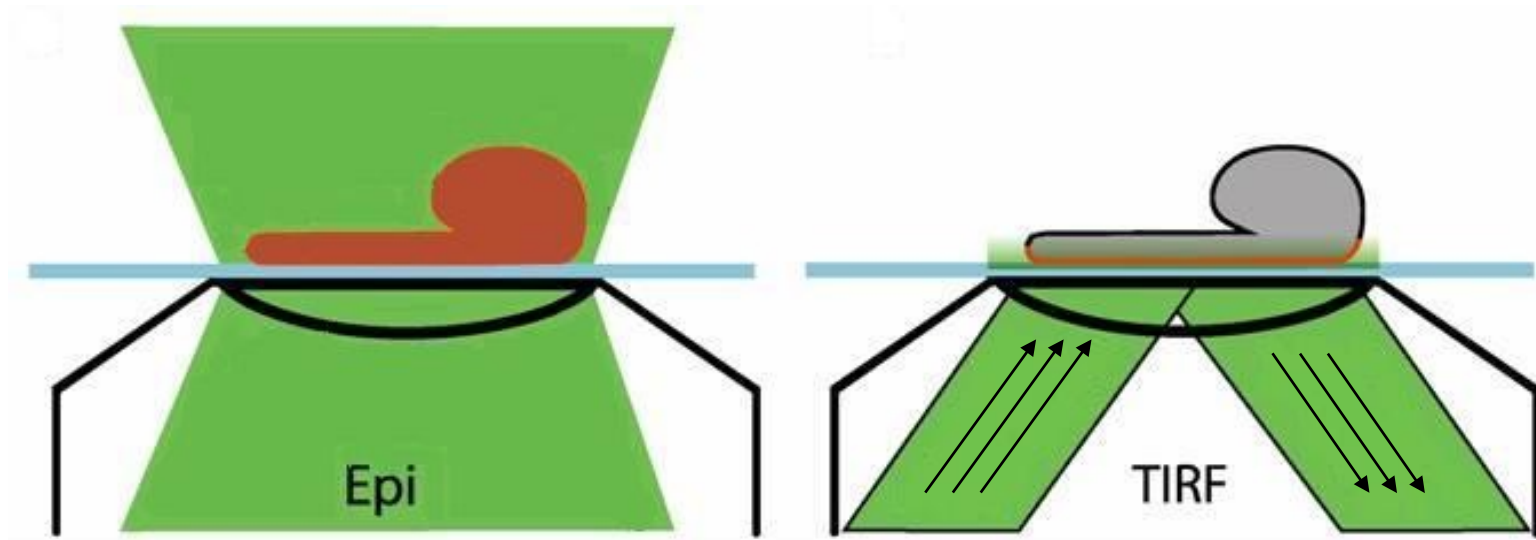
- Fluorophore only becomes active (= fluorescent) if excited (e.g. with 405 laser) due to structural change



Pictures taken from a activation movie: activation of a line through the lamellipodia of the cell, activated GFP_F diffuses quickly



TIRF (Total Internal Reflection Fluorescence)



You need:

- TIRF objectives with high NA
- TIRF condenser, where you are able to change the angle of illumination
 - Glass coverslips

TIRF

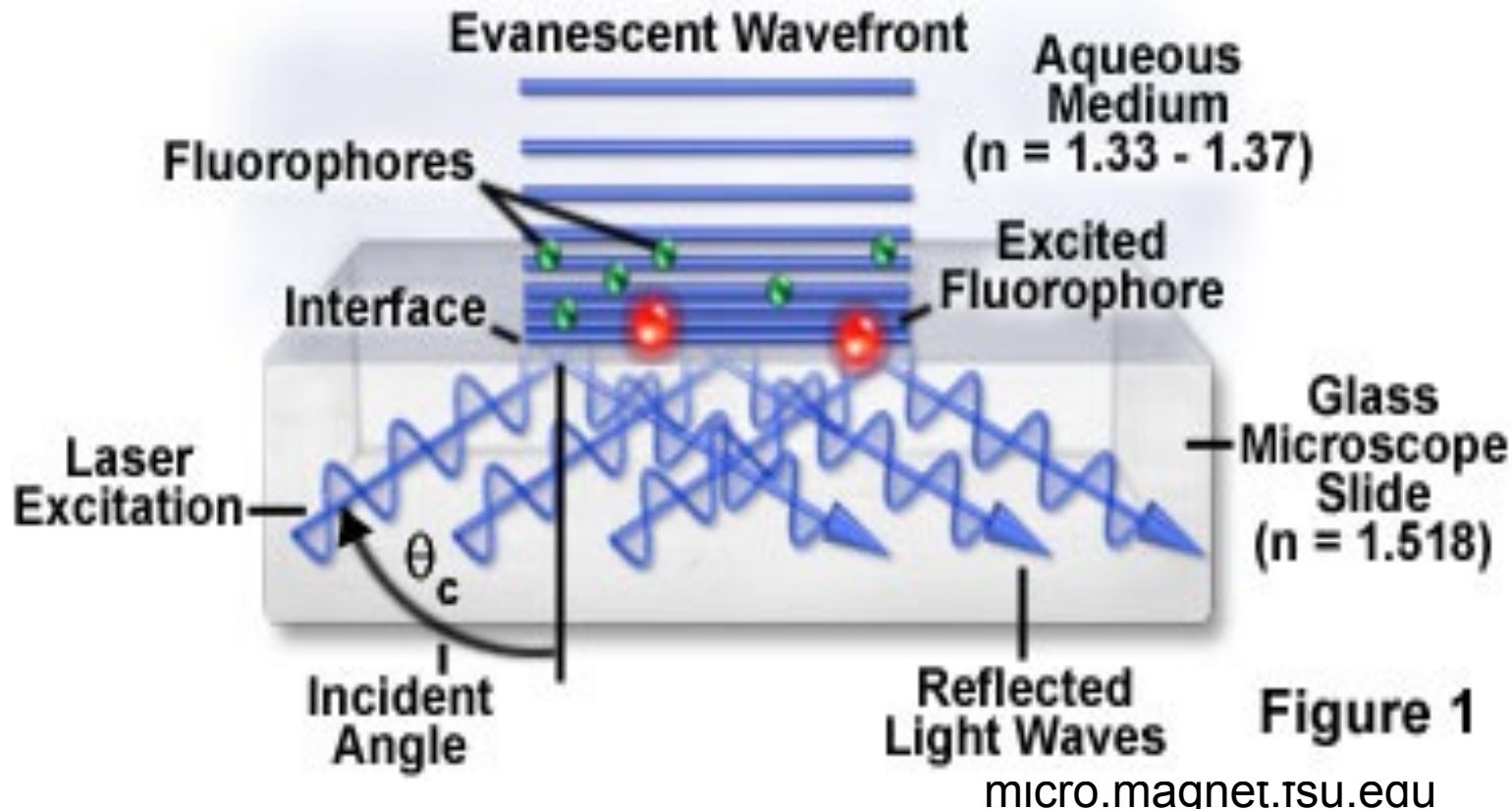


Figure 1

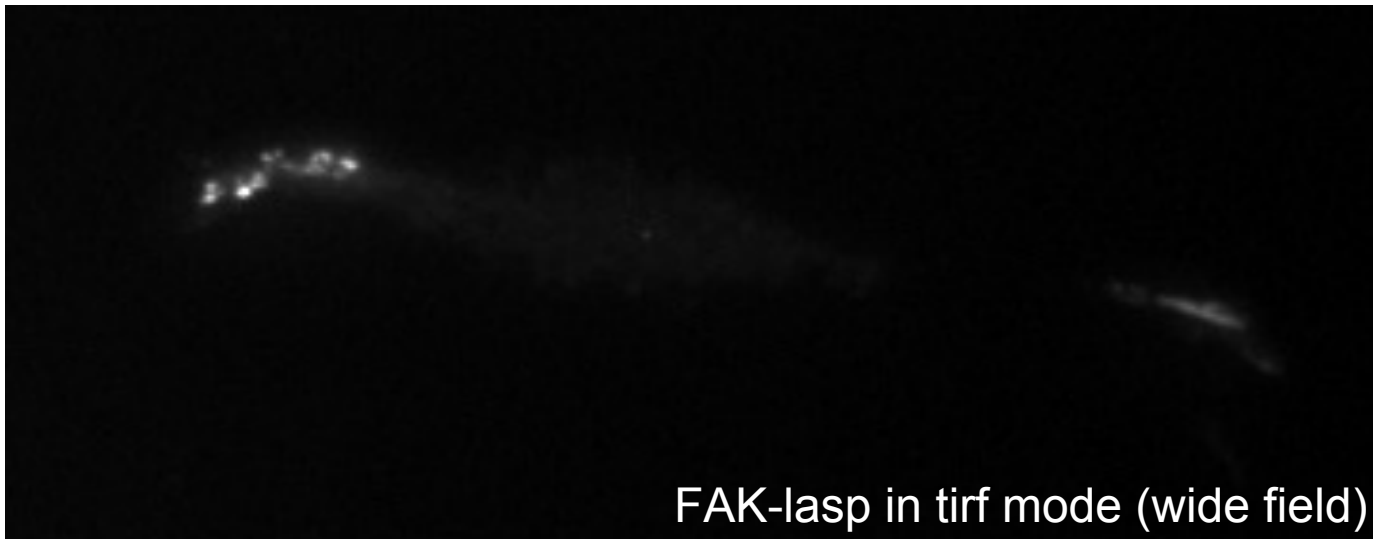
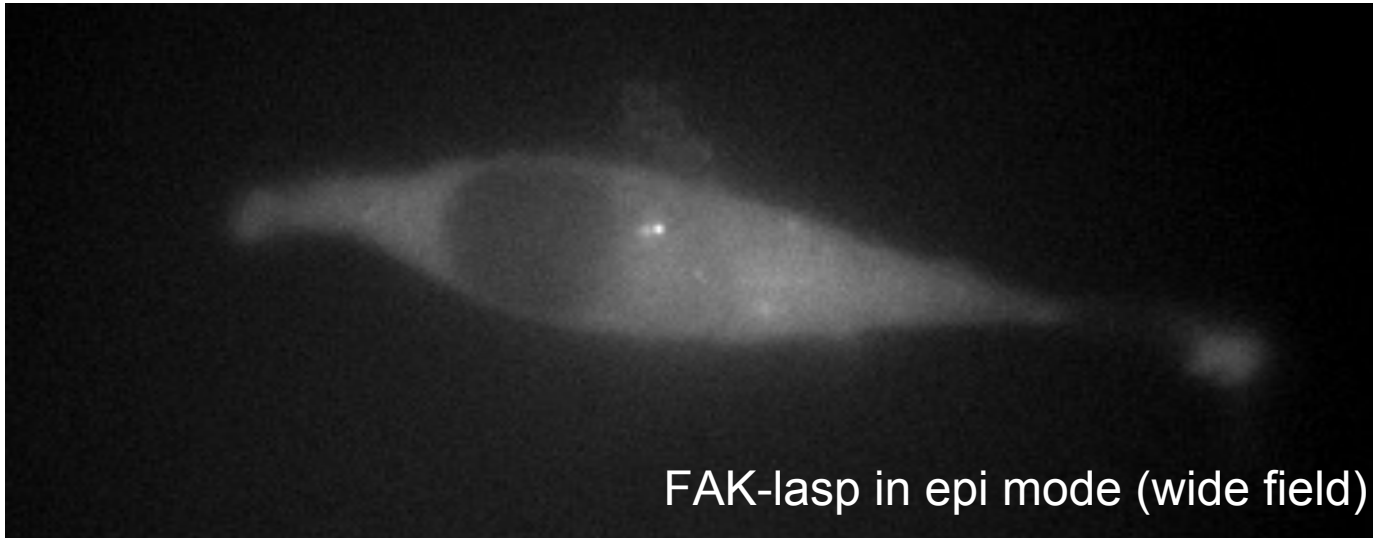
micro.magnet.fsu.edu

Result: very thin section at the bottom of the sample → 150-200nm

Use: to study membrane dynamics (endocytosis, focal adhesions, receptor binding)

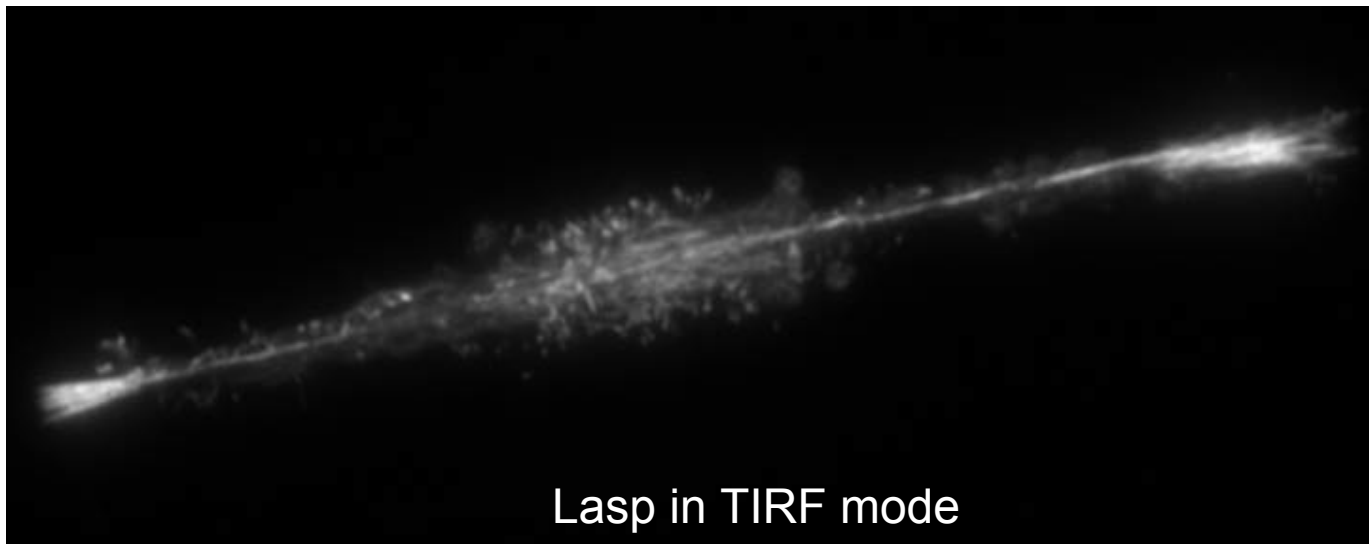
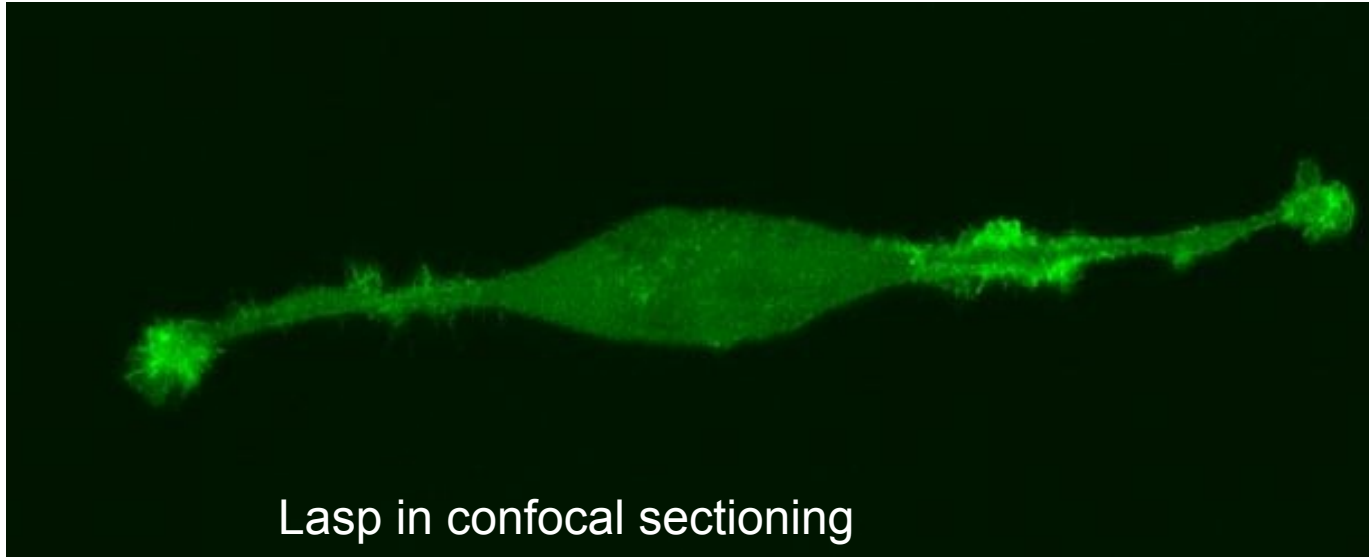
→ Nikon TE 2000

TIRF vs epi



Heather Spence, R10

TIRF vs epi



Summary/comparison

method	excitation	detection	sectioning	use
Wide field	Whole sample	Whole sample	No sectioning	Simple fluorescence samples
confocal	Whole sample	One z-plane	350-500nm	High contrast images, optical sectioning
2-Photon	One z-plane	One z-plane	500-700nm	Deep tissue imaging, optical sectioning
TIRF	Only bottom plane	Only bottom plane	150-200nm	Membrane dynamics